

Ciclo de Palestras Sobre Controle Térmico de Satélites

Radiadores Espaciais

Dr. Fabiano Luis de Sousa

Divisão de Mecânica Espacial e Controle - DMC

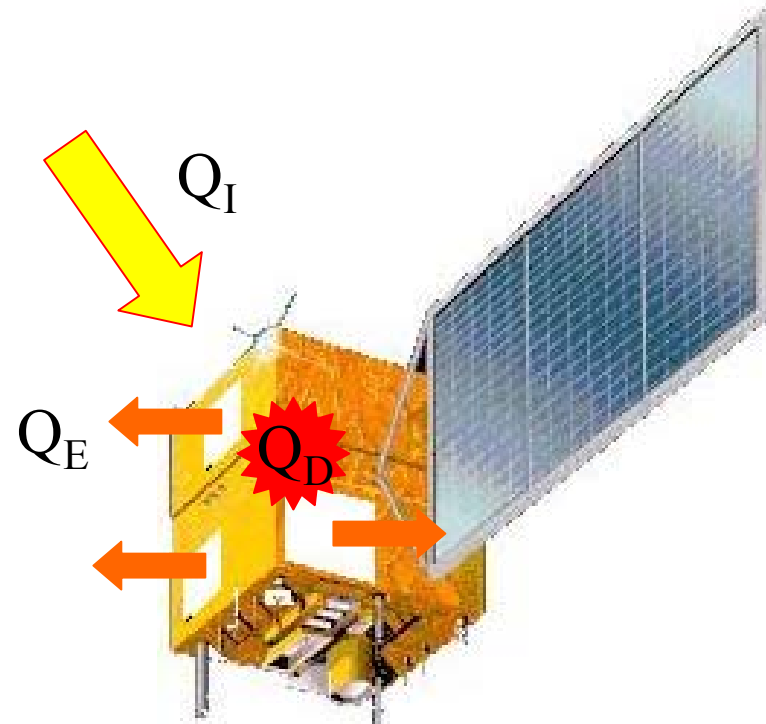
Balanço Térmico Global no Satélite

$$\varepsilon A_{\text{eff}} \sigma T_s^4 = \alpha A_{\text{eff}} Q_I + Q_D$$

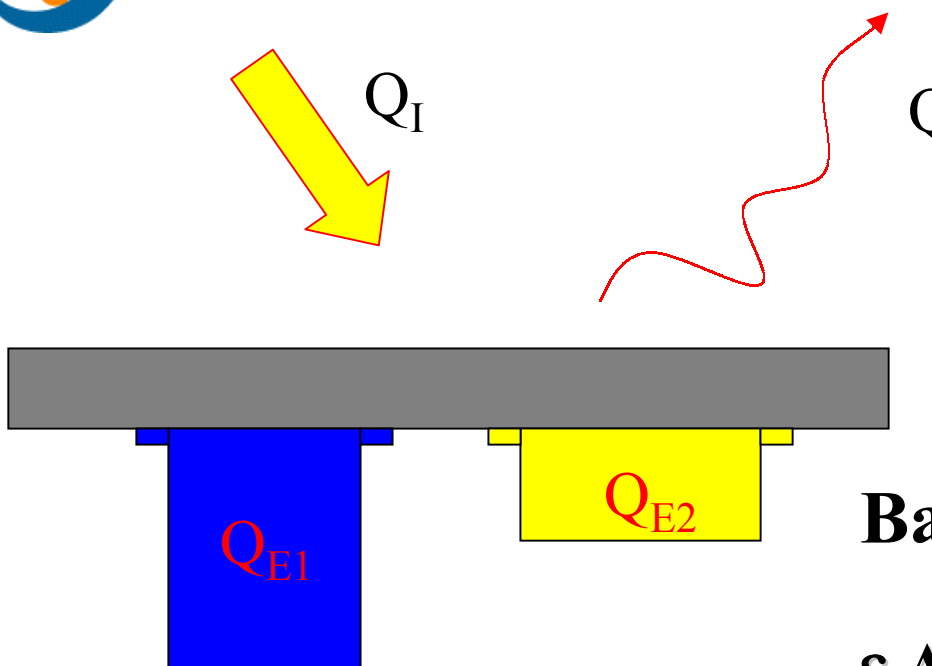
**Calor emitido
pelo satélite**

**Calor externo
absorvido pelo
satélite**

**Calor dissipado
internamente
ao satélite**



⇒ O Calor excedente em um satélite é rejeitado para o espaço por meio de radiadores.

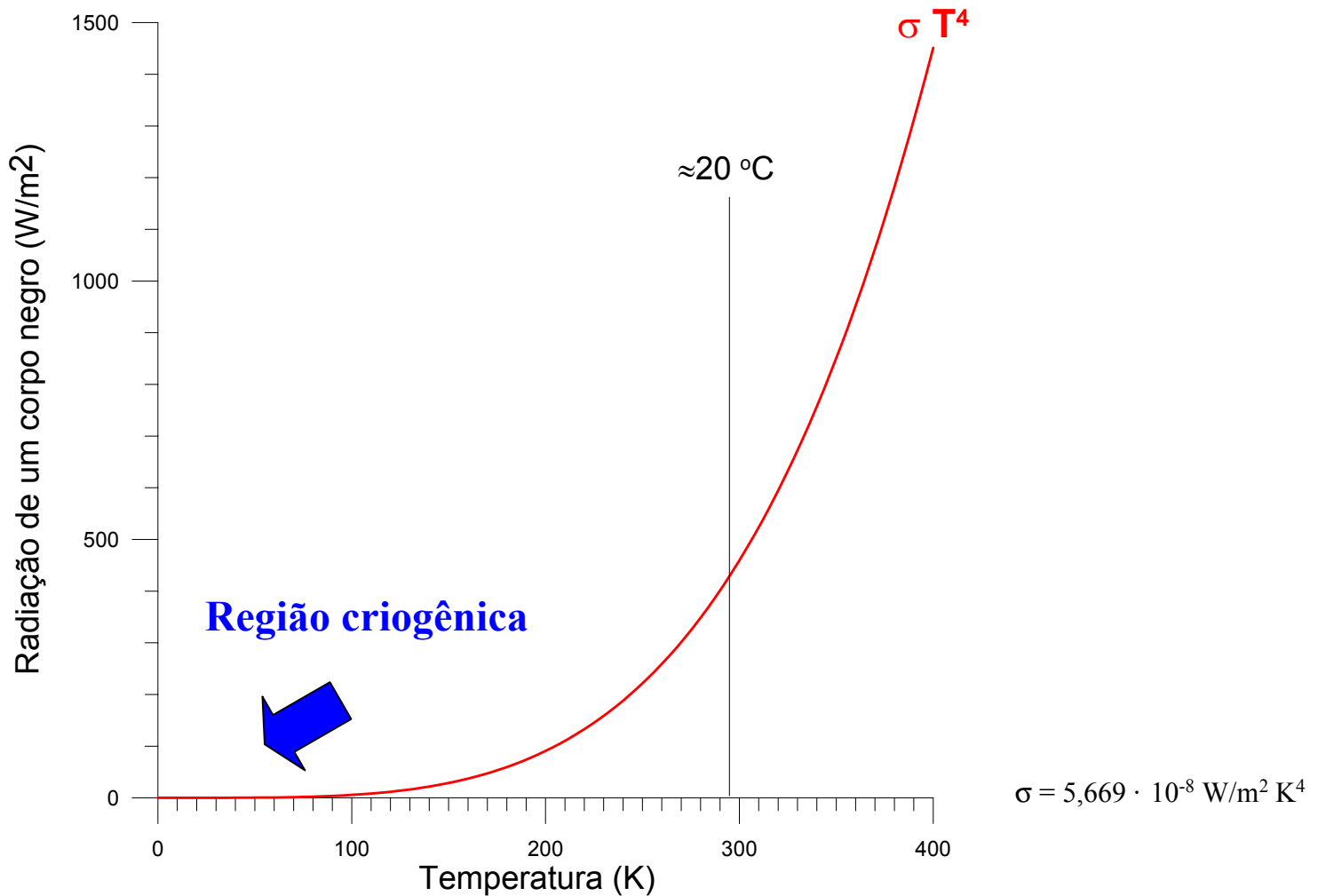


Balanço Térmico no Radiador

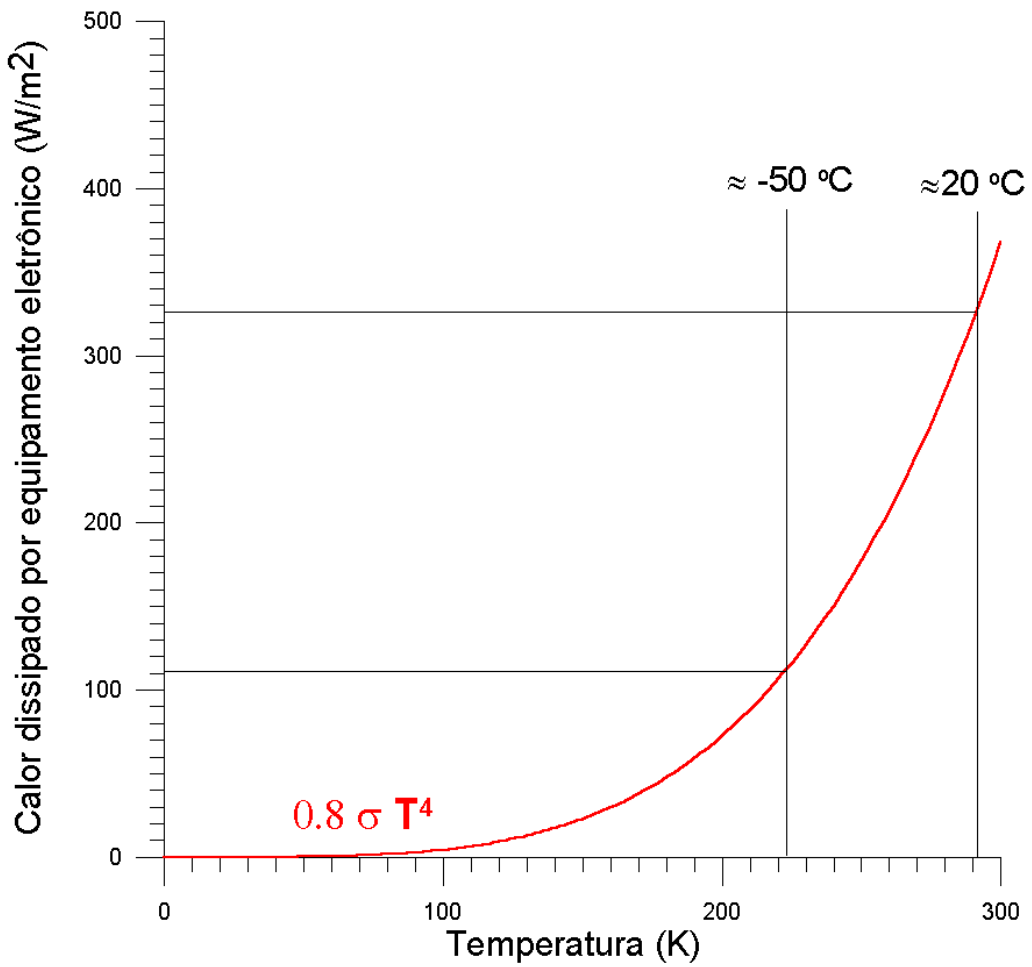
$$\varepsilon A_{\text{rad}} \sigma T_{\text{rad}}^4 = \alpha A_{\text{rad}} Q_I + Q_{E1+E2}$$

- Radiadores apresentam geralmente uma baixa relação α/ε .
- Em geral $\alpha < 0,2$ e $\varepsilon > 0,8$.

- A quantidade de calor emitida por um radiador é fortemente dependente da temperatura do mesmo: $\epsilon A_{\text{rad}} \sigma T_{\text{rad}}^4$

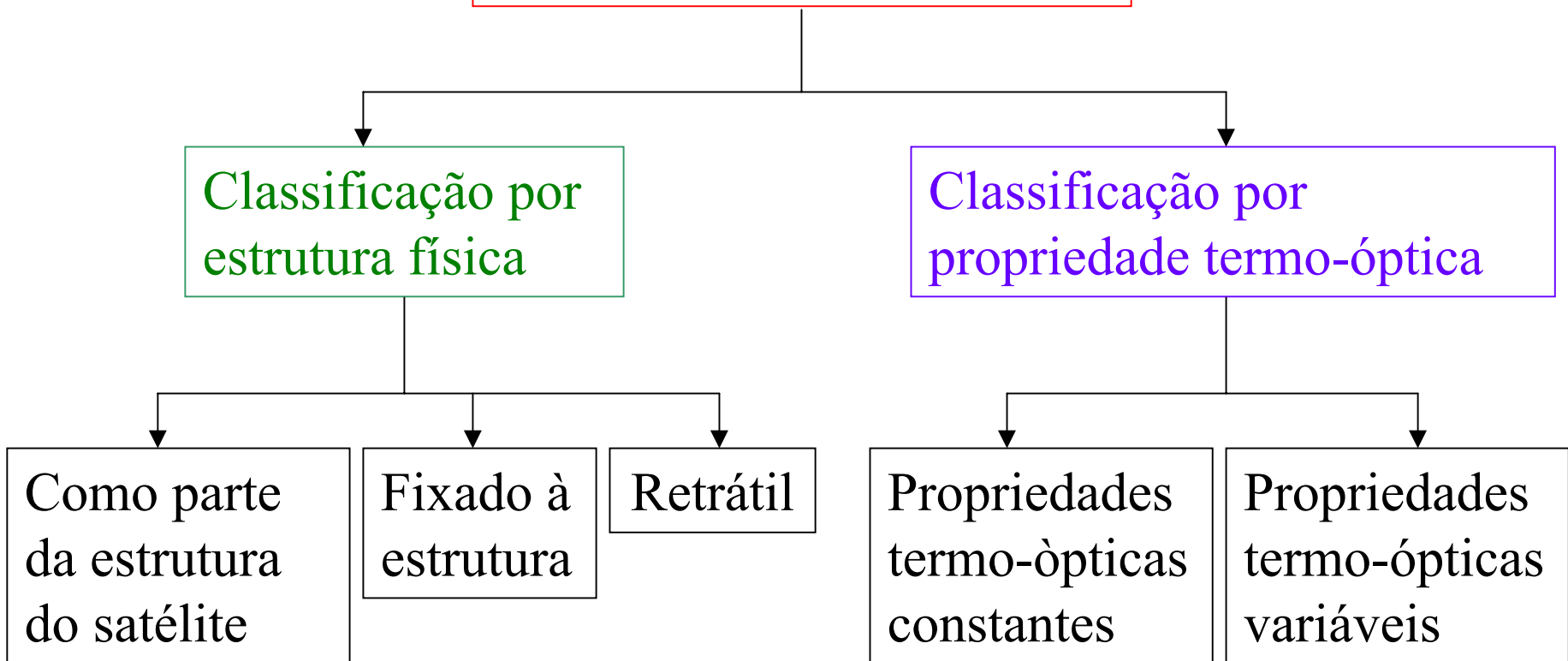


- Tipicamente os radiadores rejeitam de 110 a 325 W/m² de calor dissipado pelos equipamentos eletrônicos.

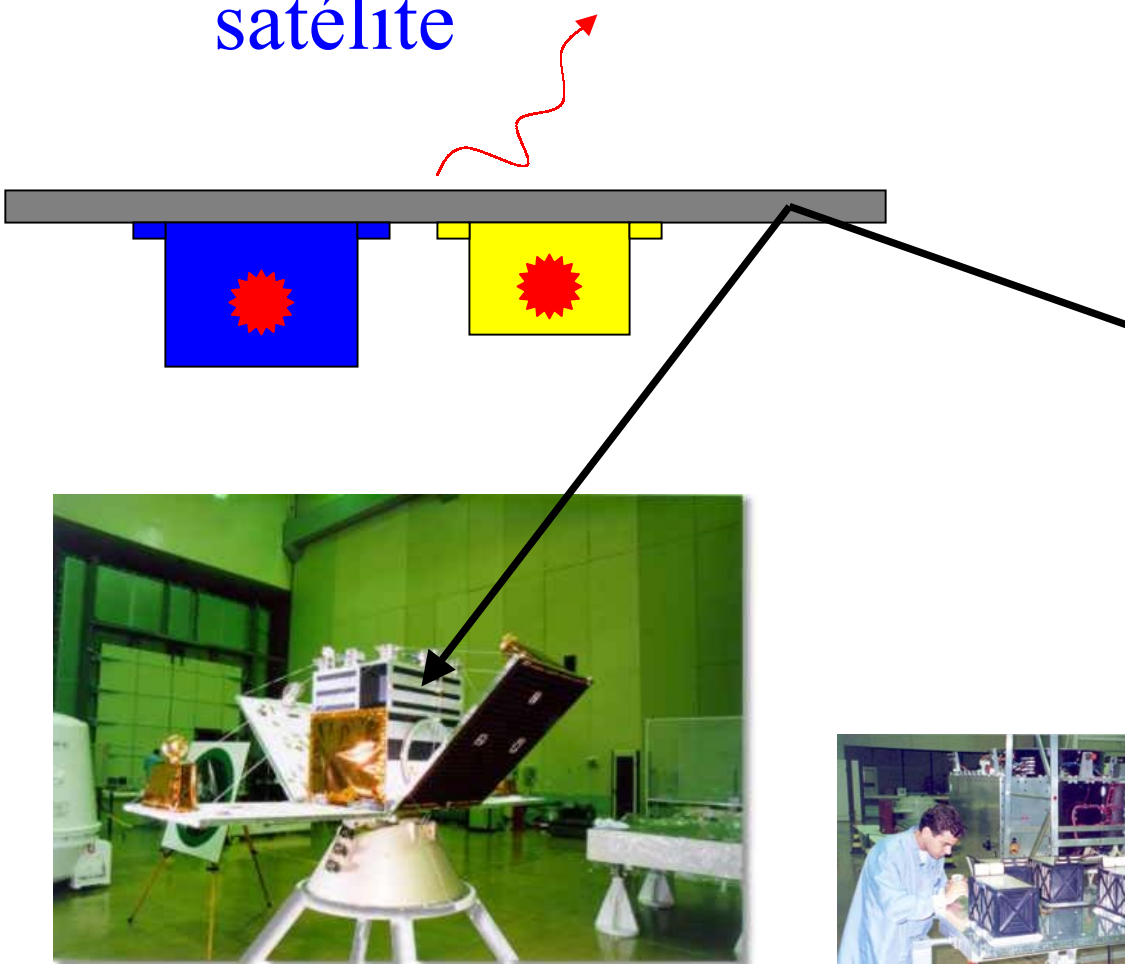


- A temperatura máxima e mínima de operação do radiador não pode comprometer os requisitos de temperatura dos equipamentos à ele acoplados.
- Tipicamente opera-se no intervalo $5 \leq T_{\text{rad}} \leq 40^\circ\text{C}$.
- Radiadores criogênicos operam a temperaturas bem abaixo do intervalo acima (ver apresentação do Valeri a seguir).

Radiadores Espaciais



→ Radiador é parte integrante da estrutura do satélite



SACI-1

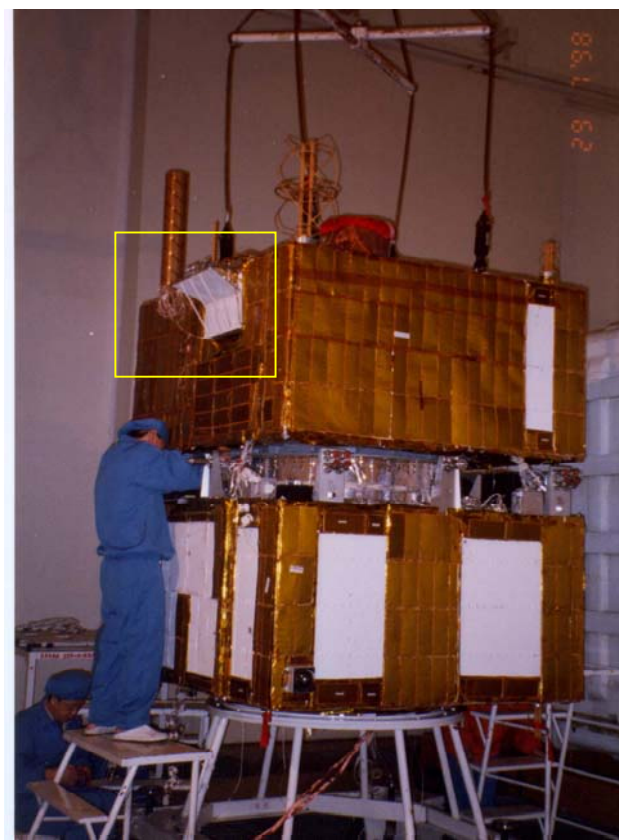


Painel das baterias

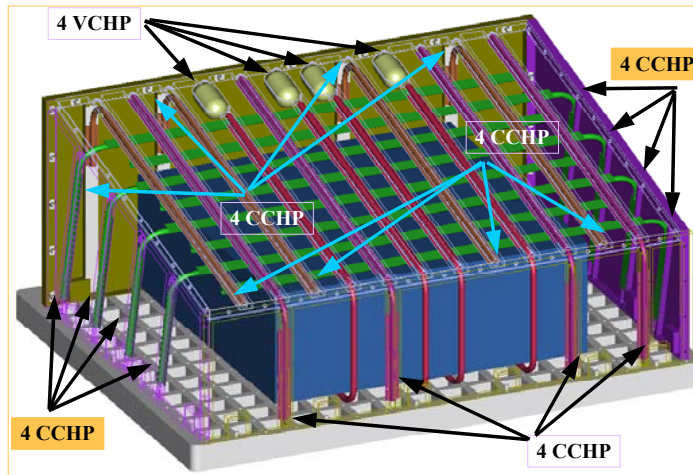


Painel BDR/Shunt
com HPs imbutidos

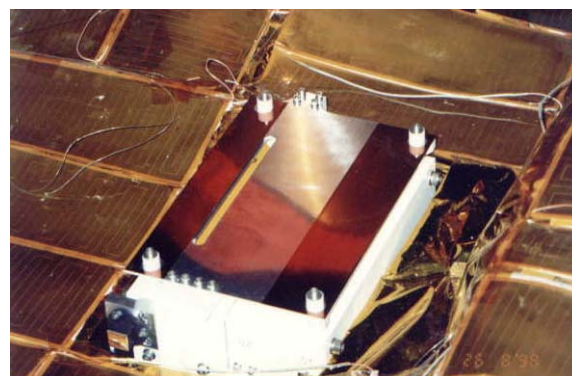
CBERS - FM1



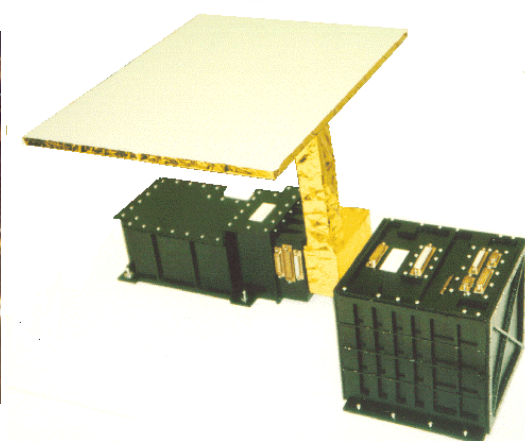
→ Fixado à estrutura



Radiador do ExPS



Radiador do WFI
CBERS - FM1

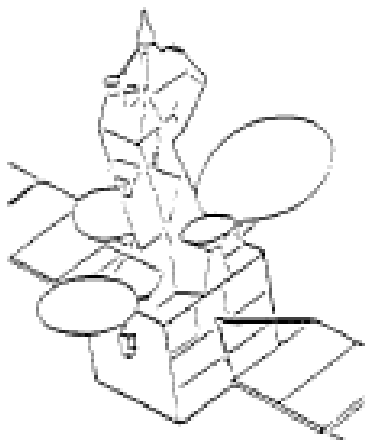


Radiador da CCD
do FUSE

→ Radiadores Retráteis

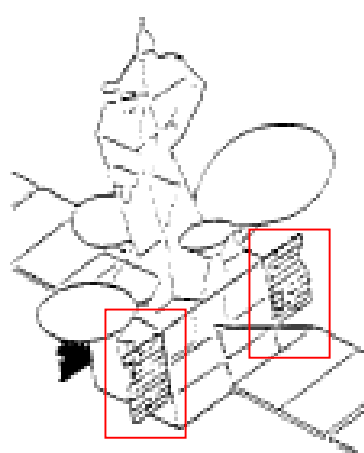
- Radiadores retráteis surgem da necessidade de um aumento significativo da área de rejeição de calor.

Nominal configuration

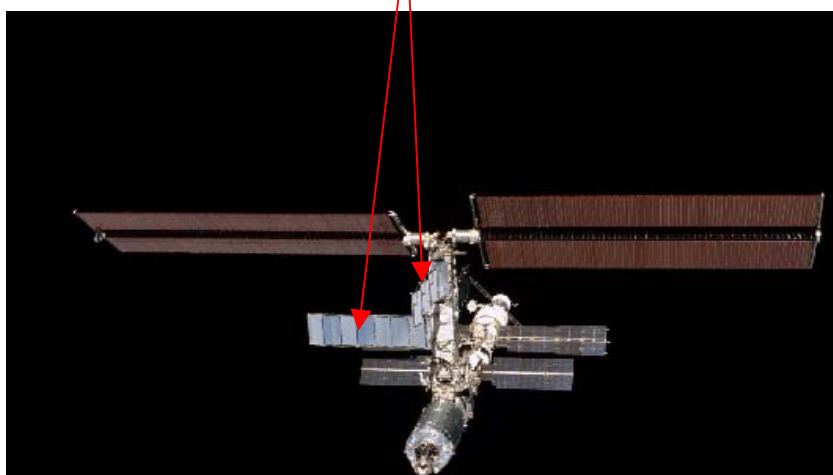
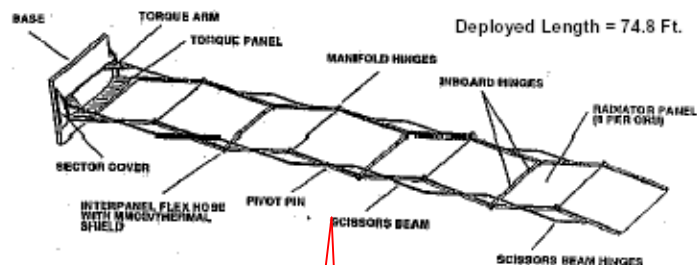


Rejected power : 800 W
Temperature : $0^{\circ}\text{C} \leq T \leq 40^{\circ}\text{C}$
Heat flux = 1.0 W/cm^2

Nominal configuration
+ 4 deployable panels
 $1.2 \times 0.8 \text{ m}$
one radiative face



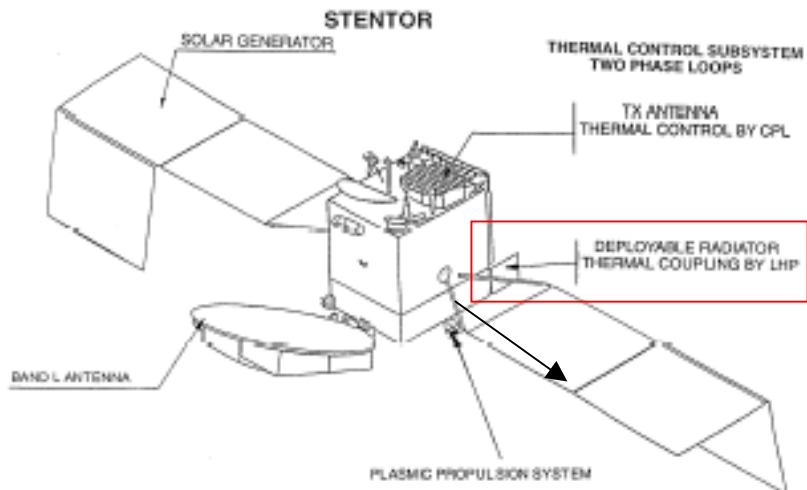
Rejected power : 1600 W
Temperature : $0^{\circ}\text{C} \leq T \leq 40^{\circ}\text{C}$
Heat flux = 2.0 W/cm^2



**Na configuração final os radiadores da ISS
rejeitarão até 14 kW**

Radiadores Retráteis (cont.)

Satellite de Télécommunications pour
Expérimenter les Nouvelles
Technologies en Orbite



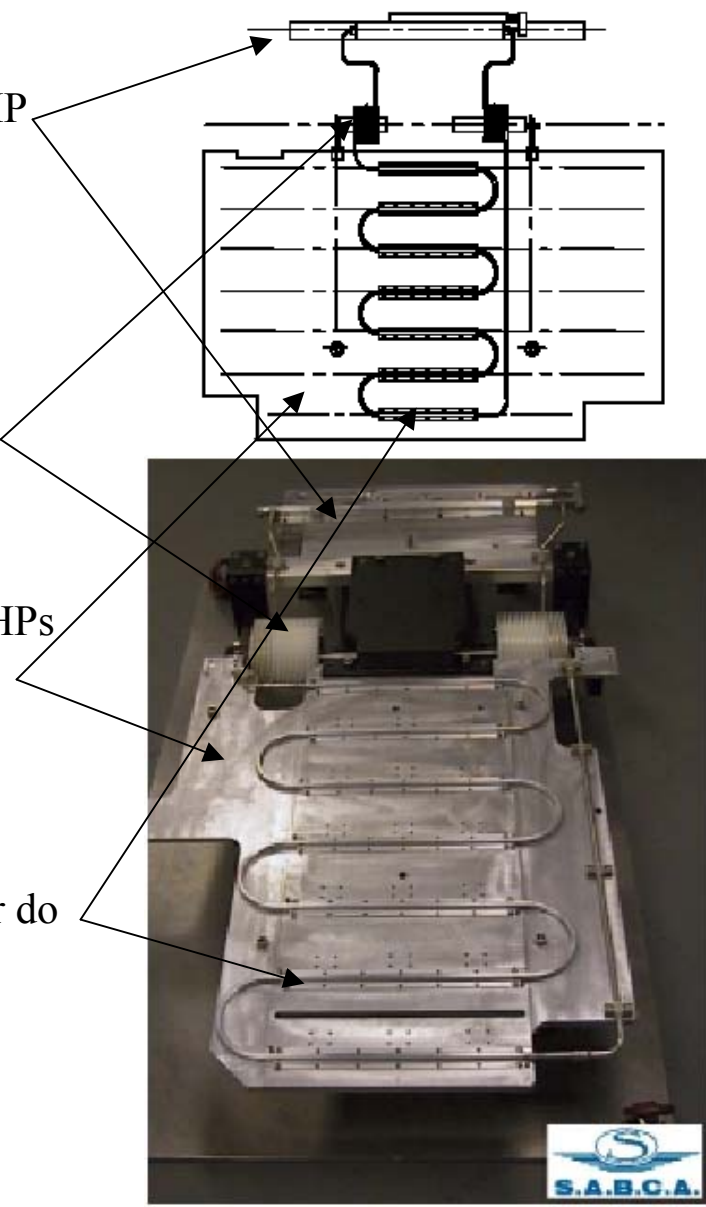
- one LHP (no redundancy)
- evaporator heat load ranging from 150 to 600 watts
- qualification temperature up to +85°C at the evaporator heat input interface
- static head of 2 m
- heat flux density up to 4 W/cm²
- « turnkey » start-ups with radiator panel temperatures as low as -50°C
- operational lifetime 15 years
- deployment capability from 90° to 180°
- mass 13 kg maximum

Evaporador do LHP

Linhos flexíveis
helicoidais

Radiador com HPs
imbutidos

Condensador do
LHP



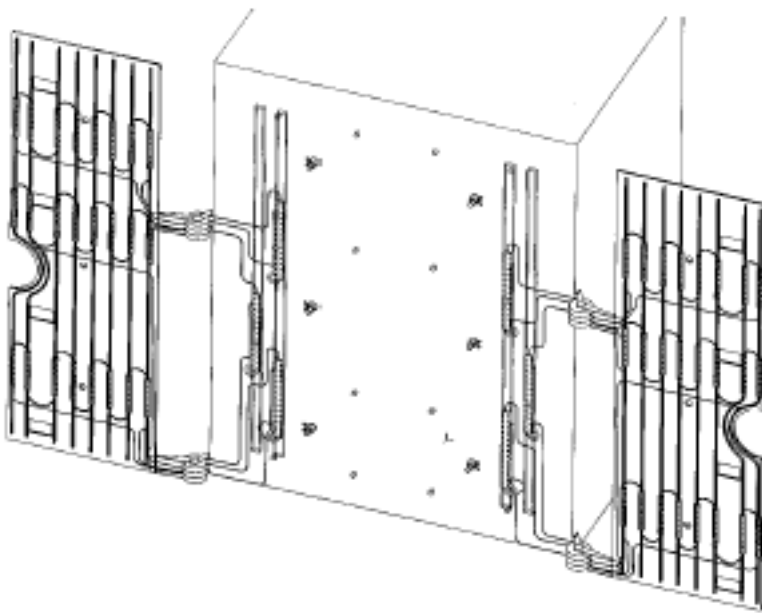


Figure 13 : 1300 W three-LHP DR derived from STENTOR baseline design

- Two LHPs (hot redundancy) tolerating single point failure
- Loop heat transfer capability up to 1200 watts
- Evaporator heat input interface qualification temperature up to +85°C
- Static head of 2 m
- Heat flux density up to 5 W/cm²
- Freeze-tolerant DR (condenser, isolator and radiator panel)
- Operational lifetime 15 years
- Deployment capability up to 180°

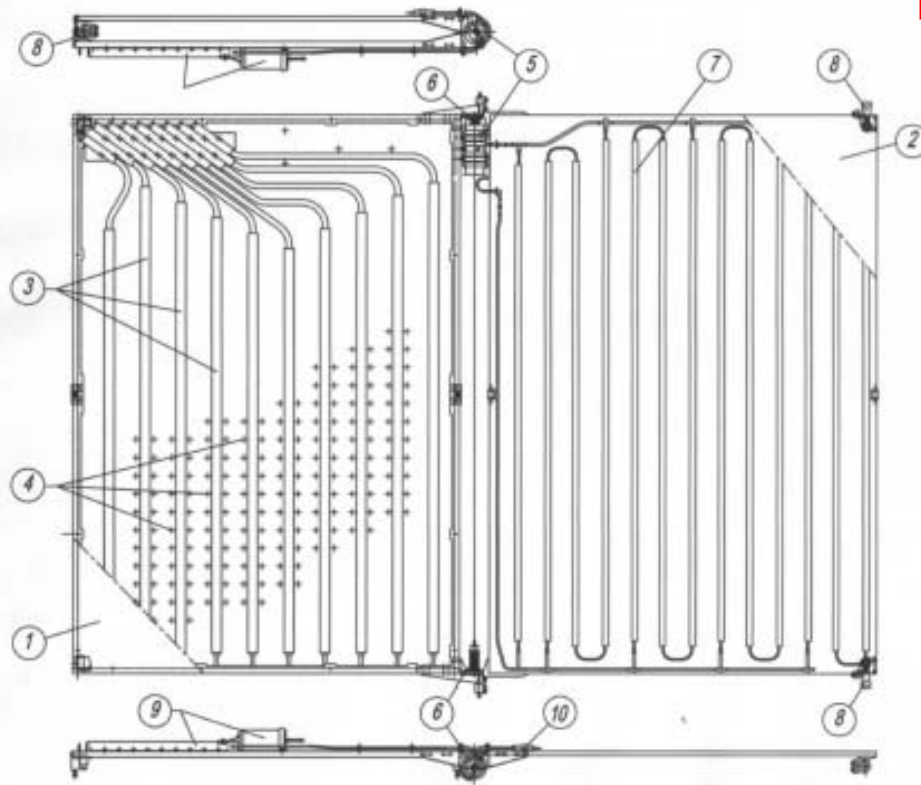
	STENTOR design	DELPHRAD design
Rejected heat (W)	380	400
DR Mass (kg)	13	9.5
Rejected heat / surface (W/m ²)	340	355
DR mass / rejected heat (kg/kW)	34	24

Radiadores Retráteis (cont.)

1500 W Deployable Radiator with Loop Heat Pipe

K. Goncharov, A. Orlov and A. Tarabrin
Lavochkin Association

M. Gottero, V. Perotto, S. Tavera and G. P. Zoppo
Alenia Spazio S.p.A.



- transferred heat power is from 10 to 1500 W;
- The heat input to the internal (fixed) panel is applied to eighth zones; the total area of the heaters does not exceed 1/10 of the panel area. The internal panel average temperature is from -20 to +60 [°C] at heat load of 10W ÷ 1500W, correspondingly, and the heat sink temperature of 100 K;
- The thermal resistance of the LHP at maximum heat load ($Q_{\max} = 1500\text{W}$) and maximum temperature of +60°C is less than 0.007 [K/W];
- The maximum thermal resistance of the whole Deployable Radiator under the same conditions is less than 0.013 (K/W) (temperature difference between contact surface of payload imitators and average temperature of radiating surface at heat power of 1500W is less than 20°C). Thermal resistance value includes AGHPS and LHP thermal resistance, thermal resistance of AGHP/LHP interface, thermal resistance of radiator sheet. In more details calculated and experimental values of thermal resistance are presented in paper [7].

Development of Loop Heat Pipe Deployable Radiator for Use on Engineering Test Satellite VIII (ETS-VIII)

Hiroaki Ishikawa, Akira Yao, Tetsuro Ogushi and Seiji Haga
Mitsubishi Electric Corporation (MELCO)

Akihiro Miyasaka and Hiroyuki Noda
National Space Development Agency of Japan (NASDA)

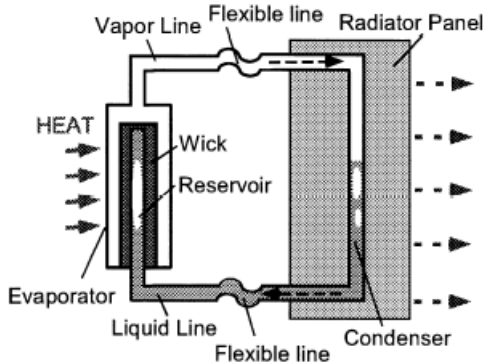
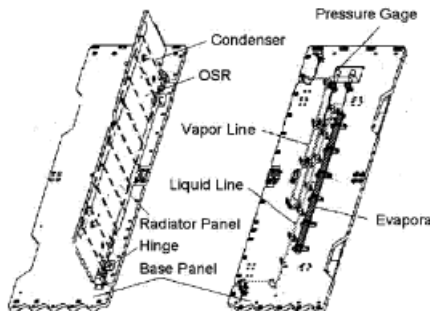
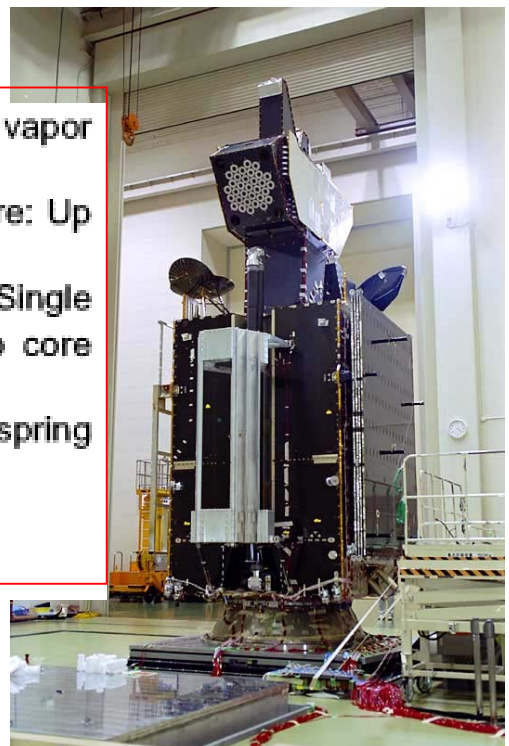
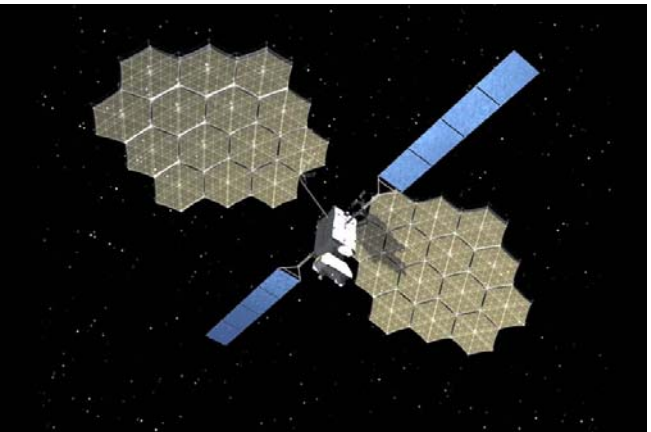


Figure 1 Schematic of Loop Heat Pipe(LHP)

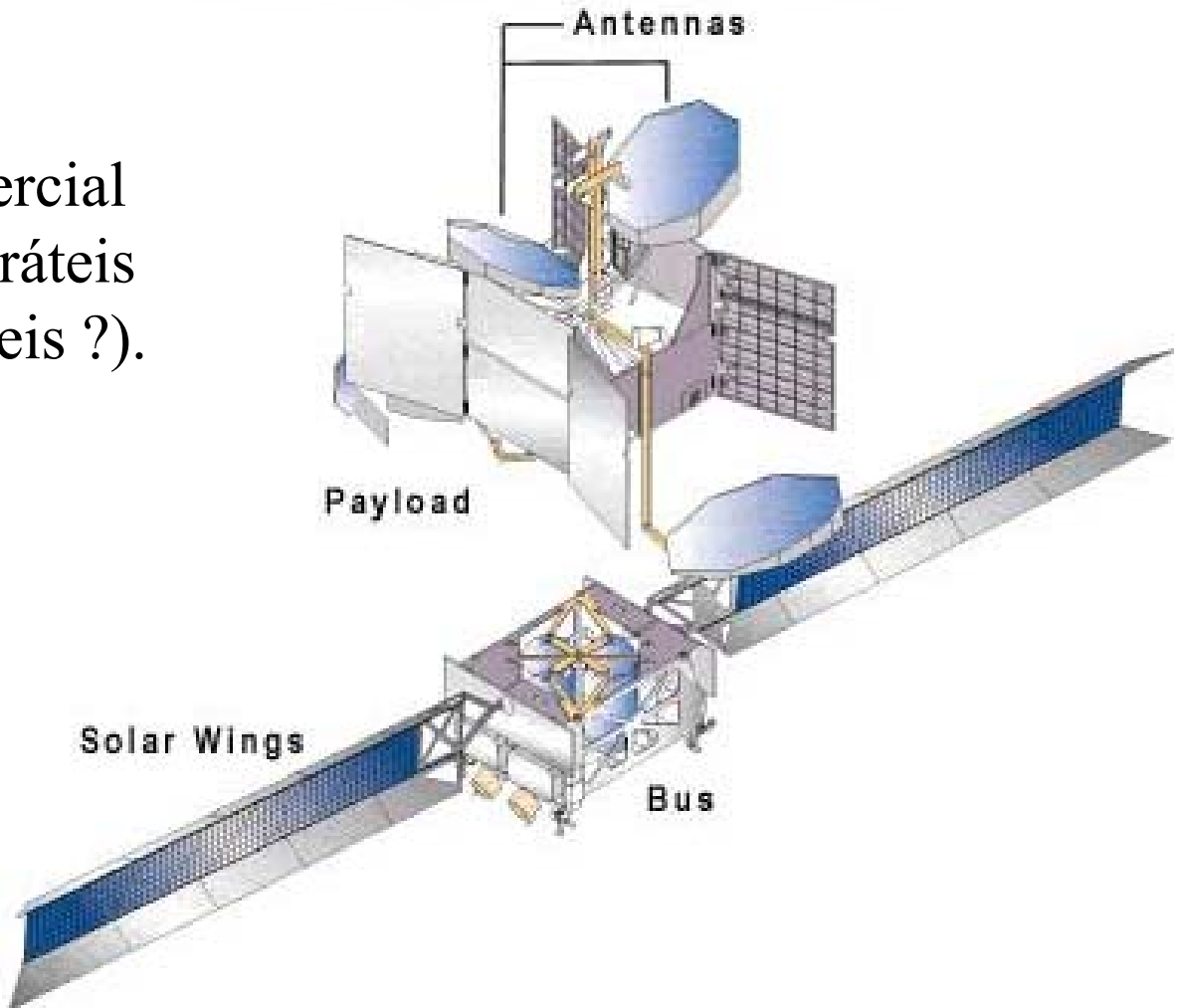


View from outside satellite View from inside satellite
Figure 2 Schematic of Deployable Radiator for
ETS-VIII

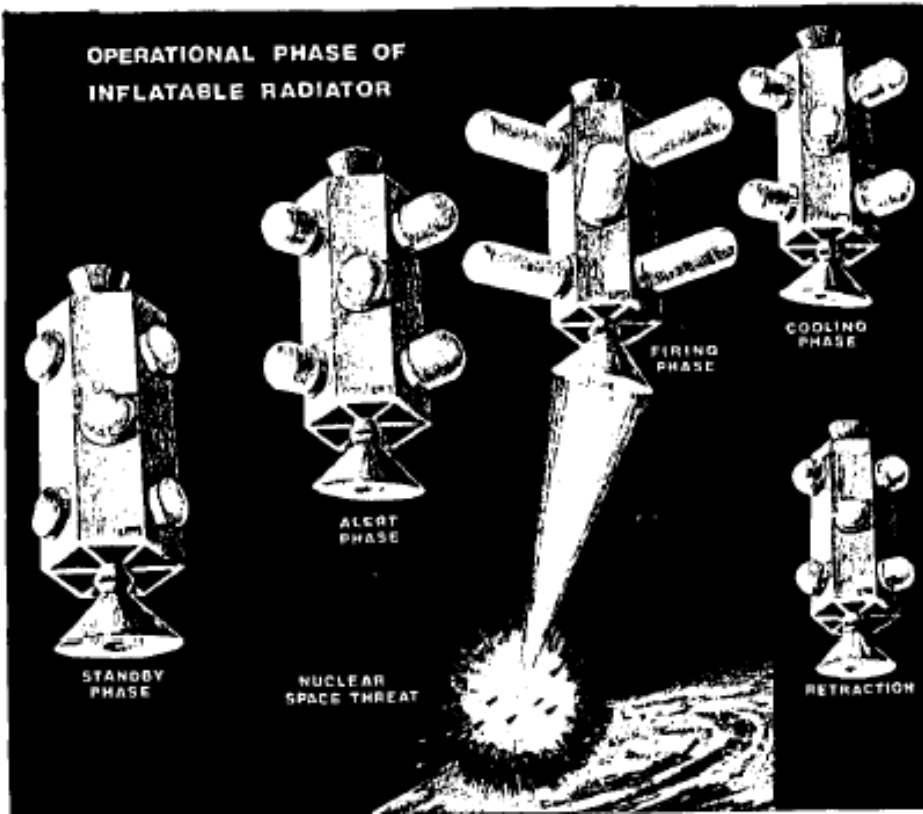
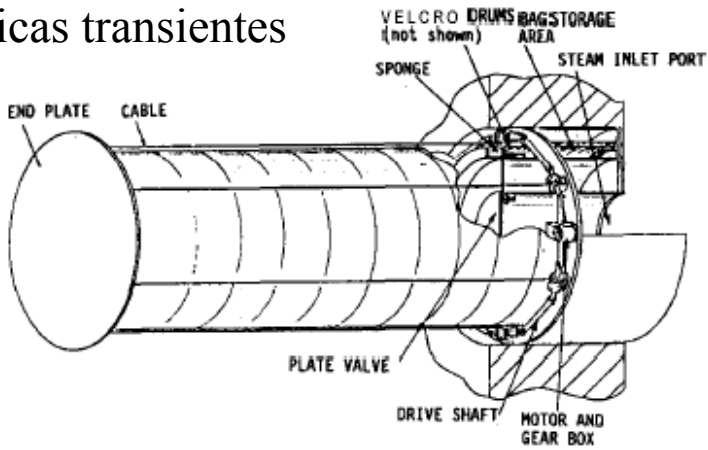
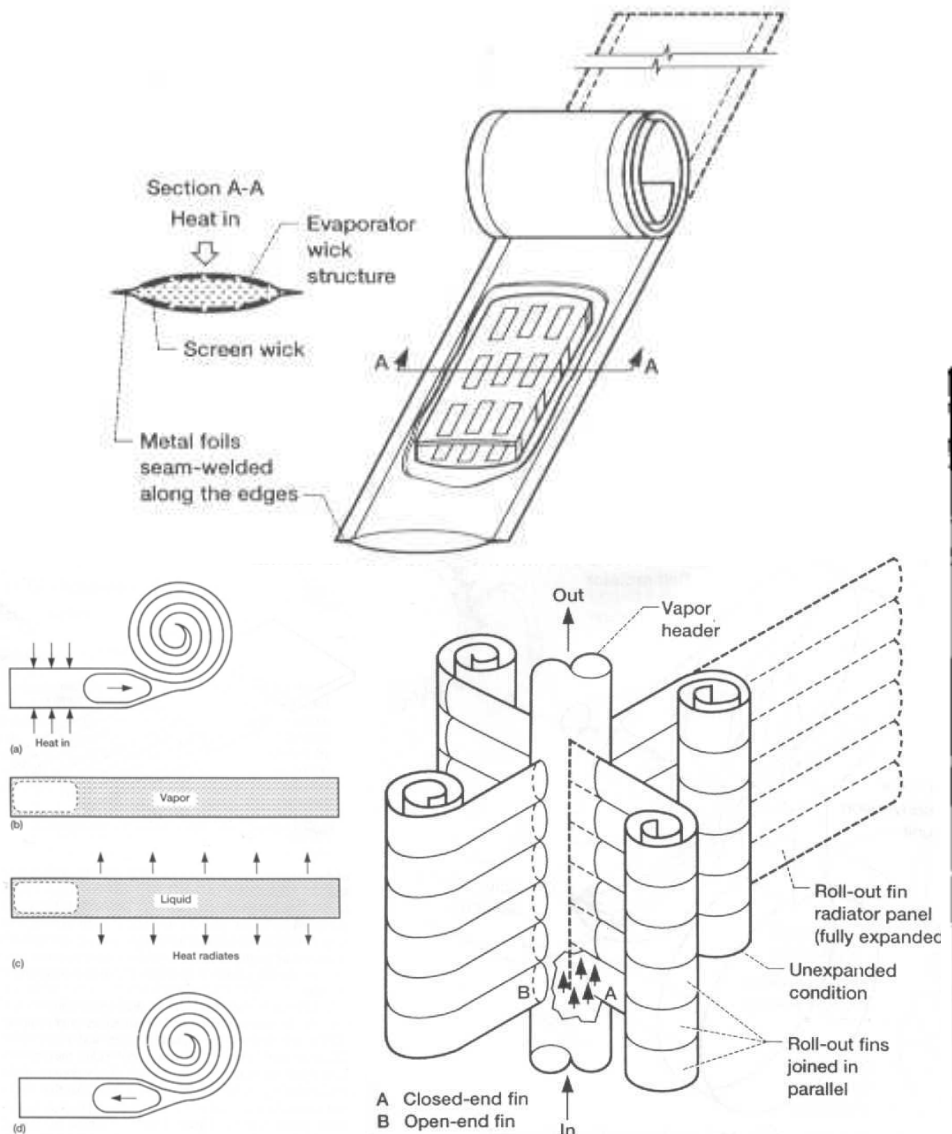


Primeiro satélite comercial
que usa radiadores retráteis
com LHP (HPs flexíveis ?).

Boeing 702 Expanded View

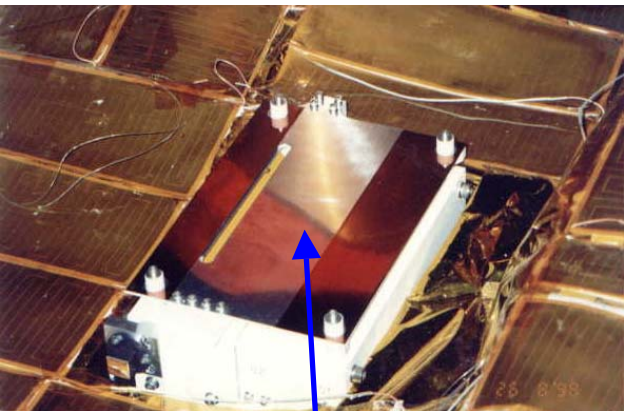
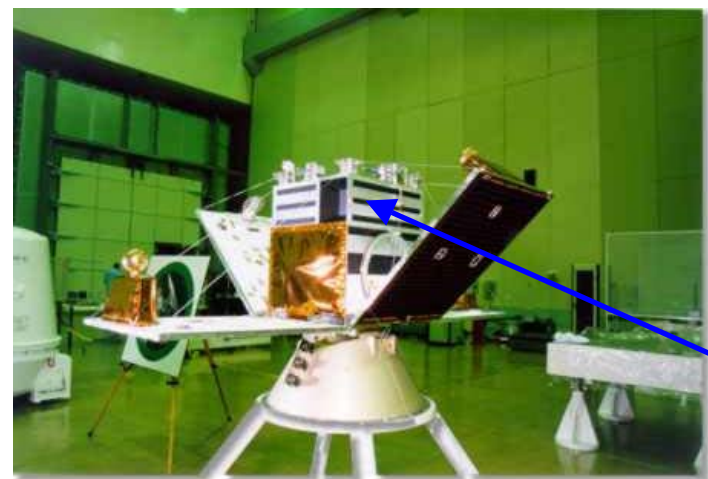


– Radiadores Infláveis: Dissipação de grandes cargas térmicas transientes



→ Radiadores Com Propriedades Termo-Ópticas Constantes

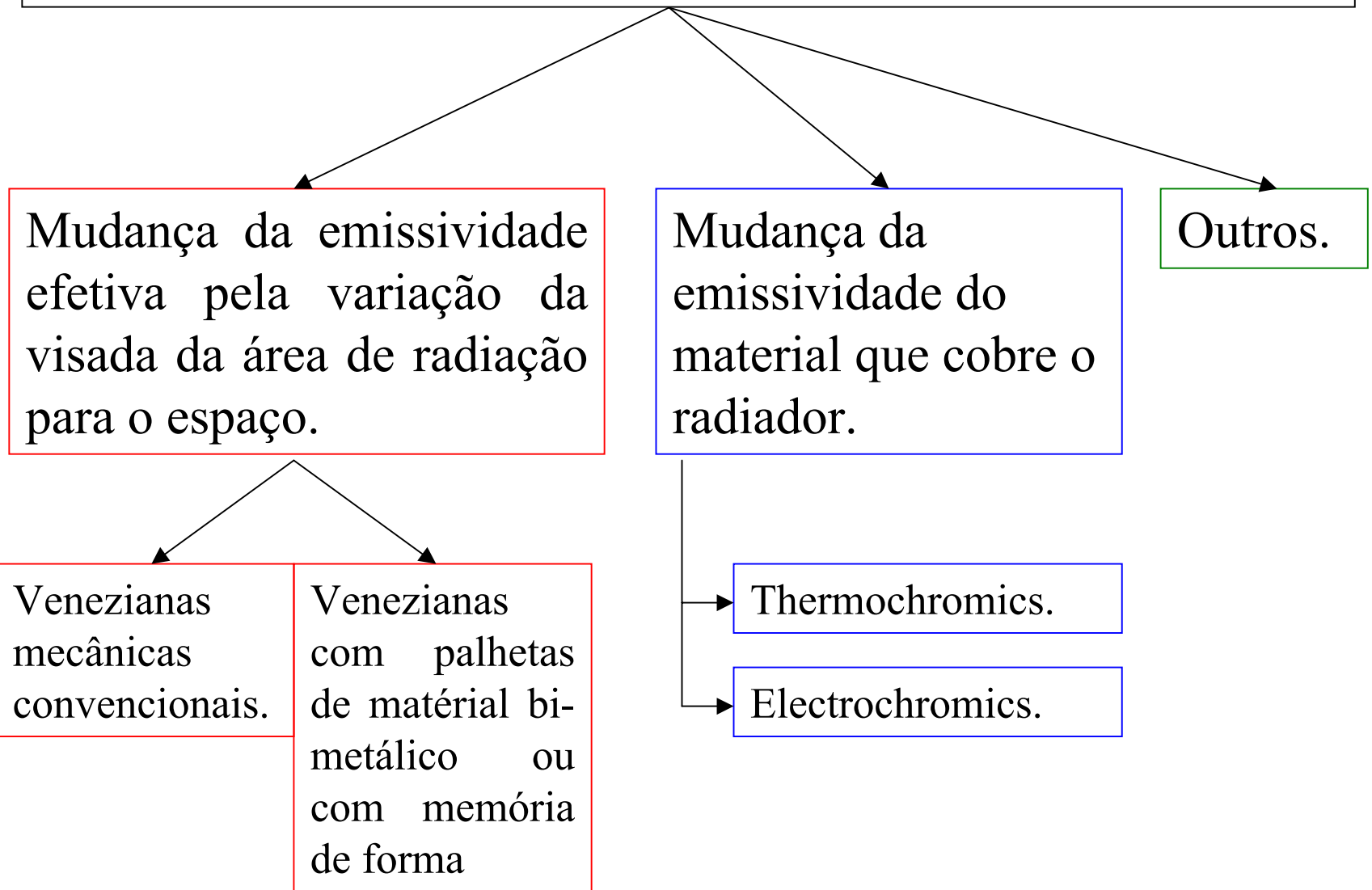
- Normalmente os radiadores são projetados com uma determinada relação α/ε que se manteria constante ao longo da vida útil do satélite (o valor desta relação só varia pela degradação das propriedades termo-ópticas).
- Diferentes coberturas podem ser usadas conjuntamente sobre a superfície de um radiador para obter-se uma determinada propriedade *efetiva*.



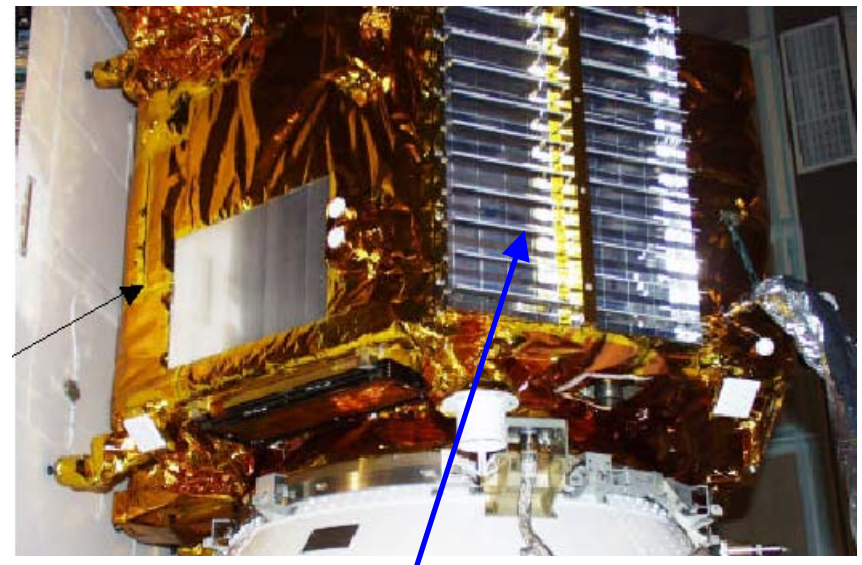
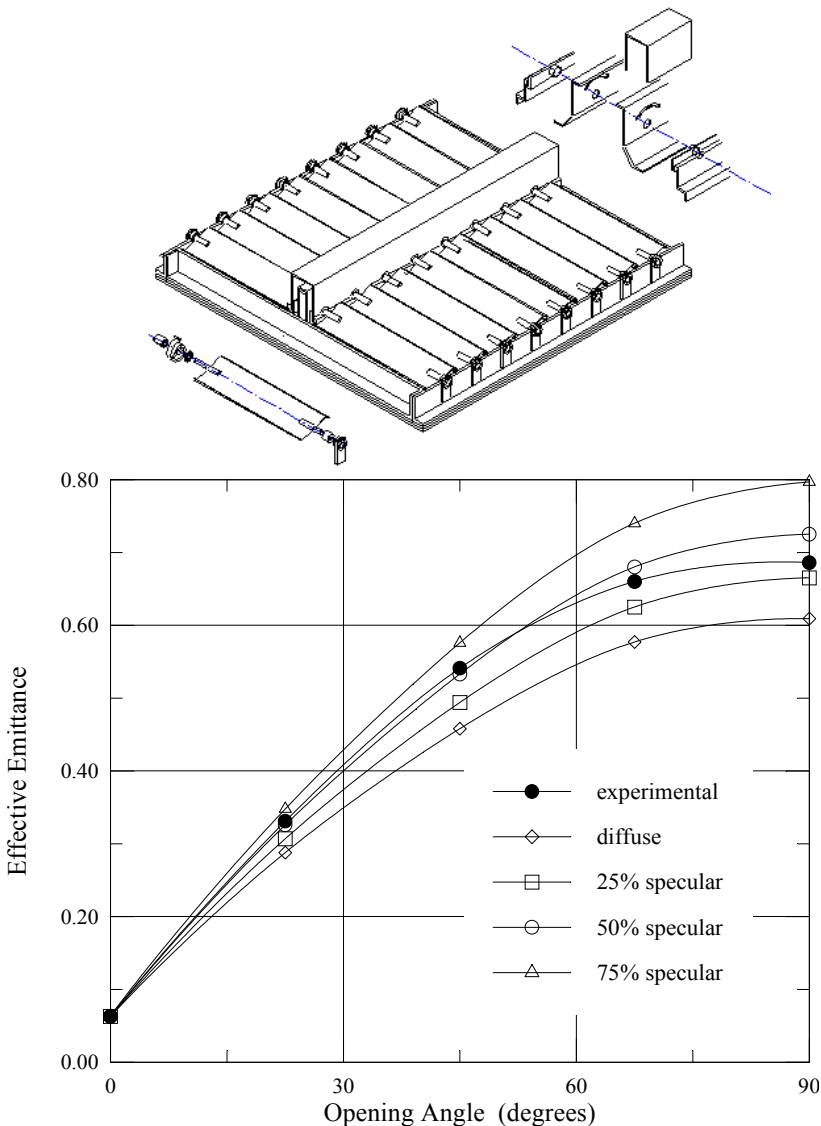
Radiadores com um
“mosaico” de coberturas

Radiador do WFI
CBERS - FMI

Radiadores com Propriedades termo-ópticas variáveis

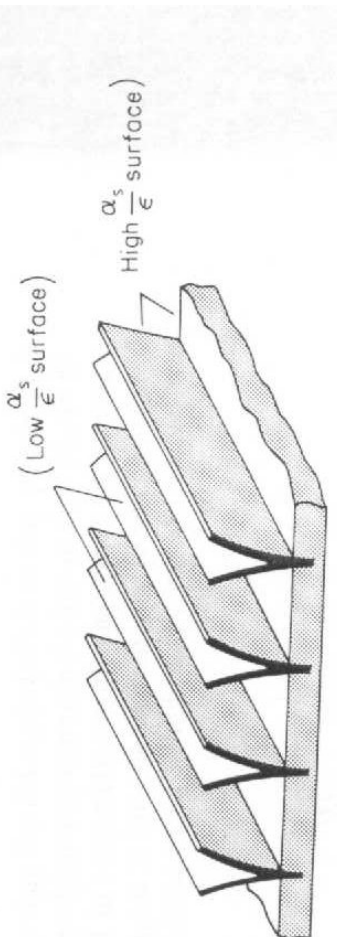


- Venezianas mecânicas tradicionais.

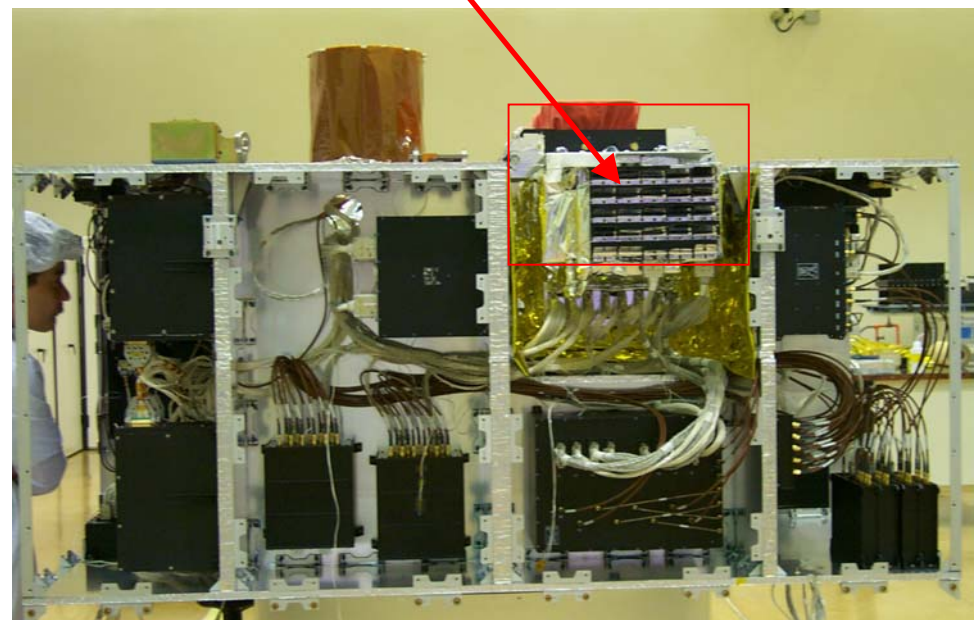


Venezianas sobre radiador do painel das baterias no satélite EO-1

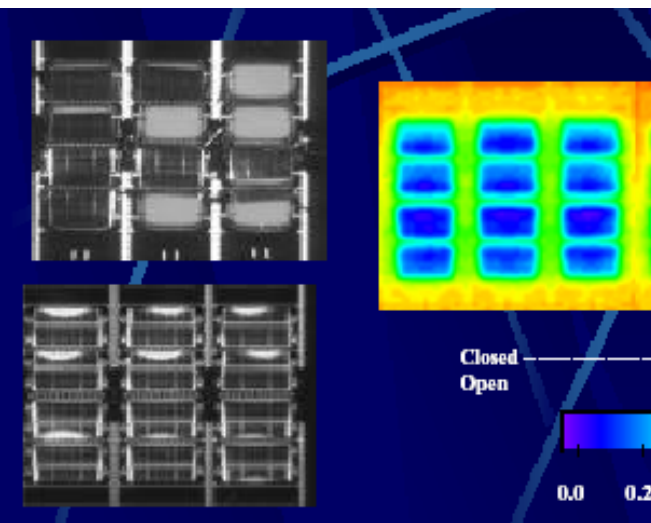
- Venezianas com palhetas em material bi-metálico ou de memória de forma .



Radiador lateral da câmera CCD
CBERS - FM2



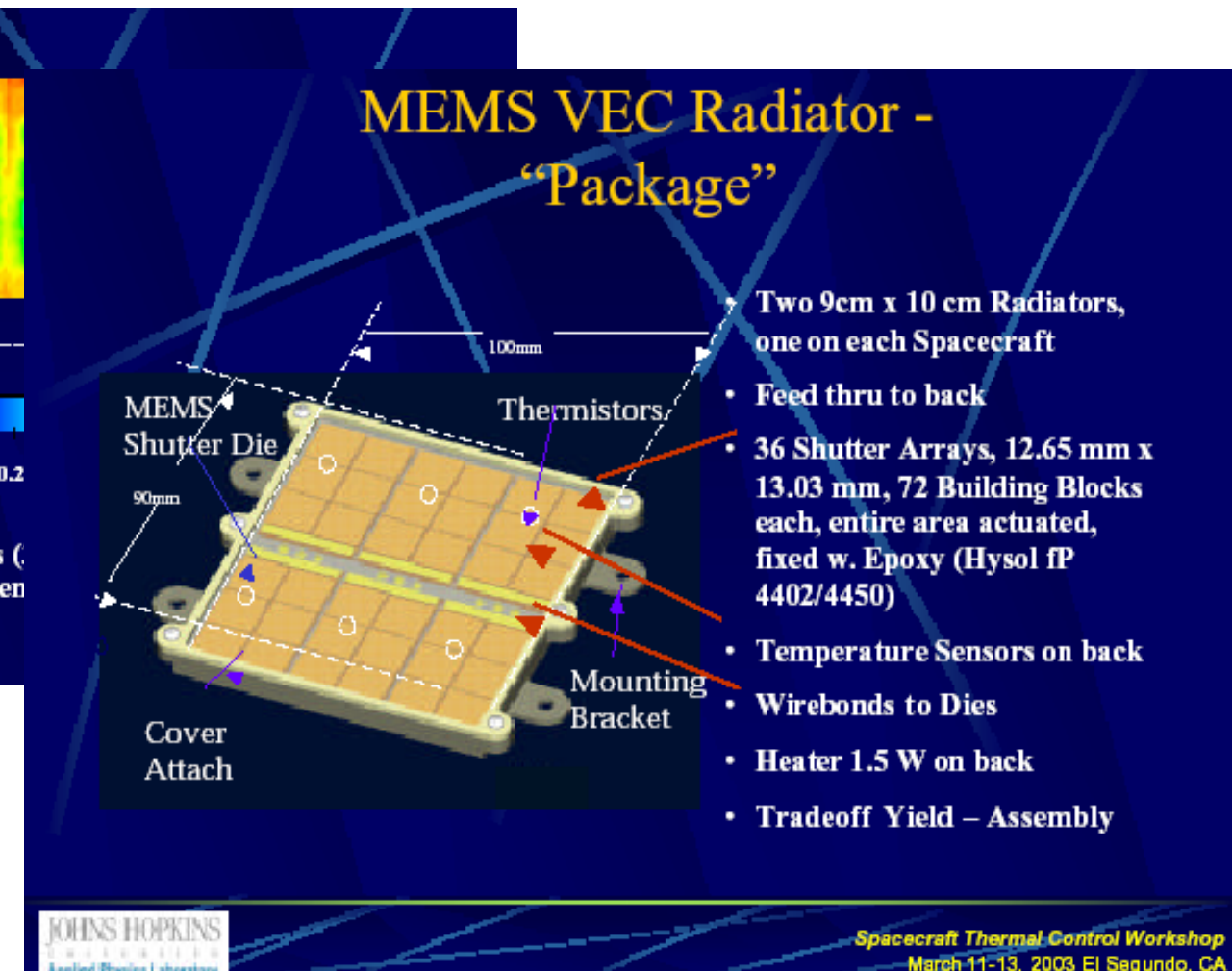
- Micro venezianas: milhares de micro-venezianas (6 - 150 µm) são acionadas eletrostáticamente (40 V).



Optical image of louvers with etched openings, with open louvers (top) and all closed (bottom).

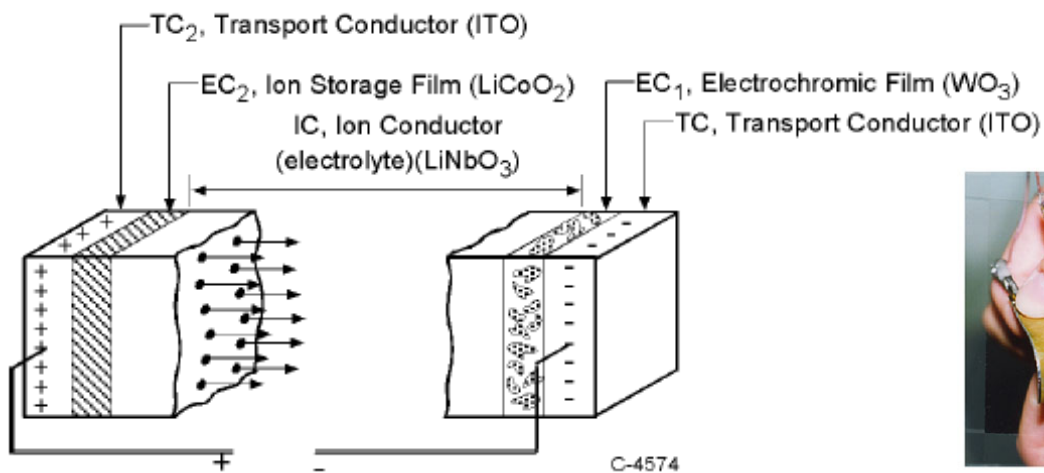
Infrared images (states, effective en 0.88.

Experimento no satélite tecnológico ST5 a ser lançado em 2004.

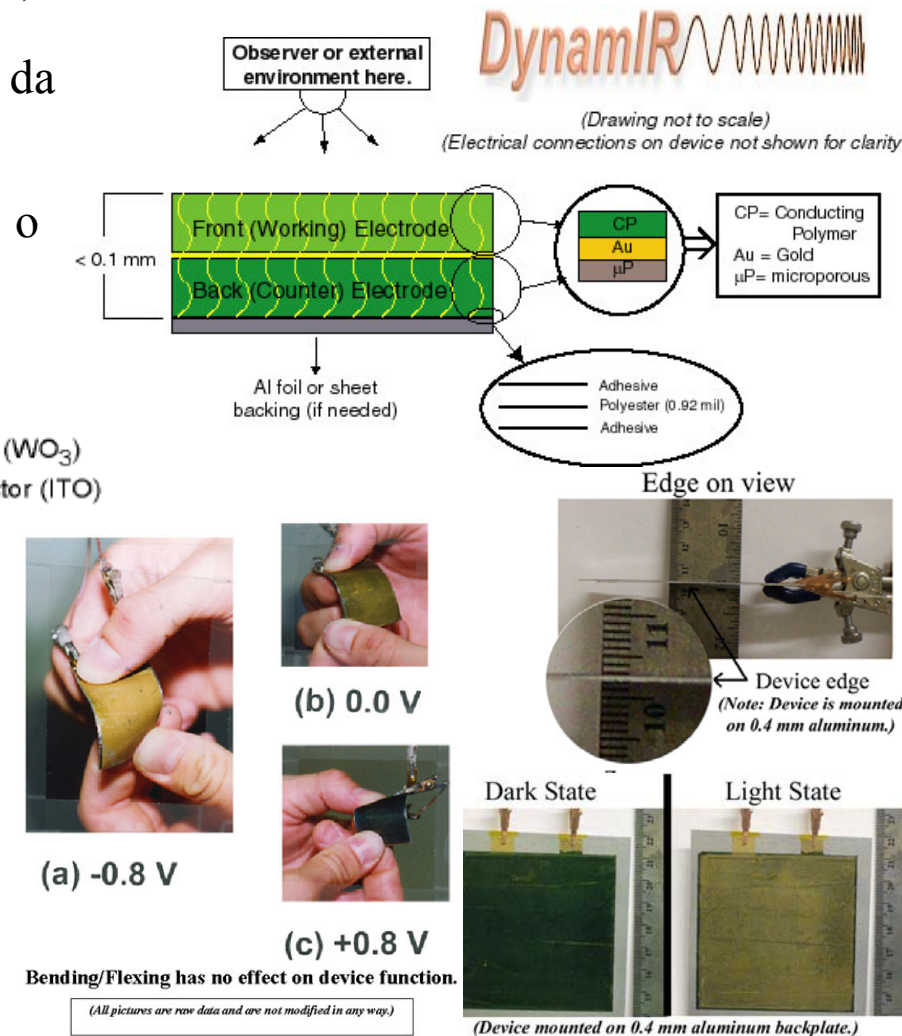


• Electrochromics

- Determinados materiais (“compostos”) podem mudar sua transmissividade quando submetidos à uma diferença de potencial (< 5 V) .
- Mudança de propriedade ótica se dá por meio da aplicação de uma DDP transitória .
- Radiador pode ser construído depositando o material sobre uma superfície com alto ϵ .

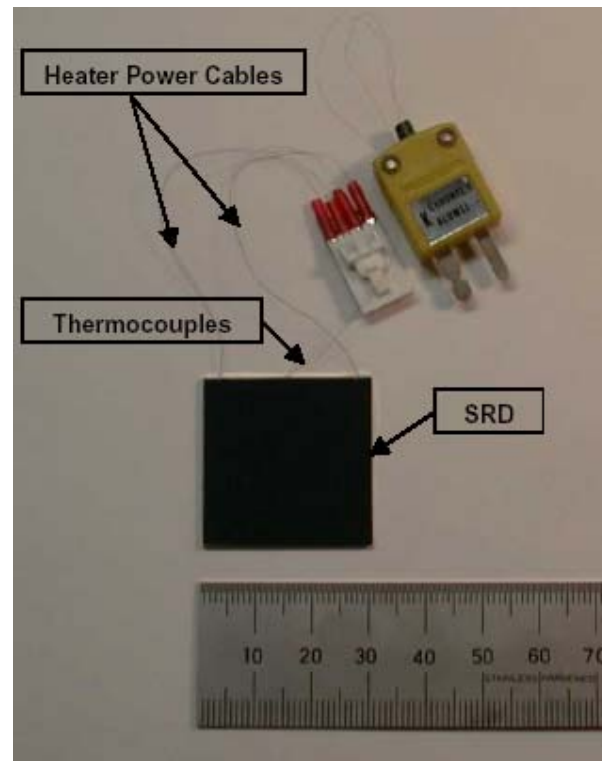
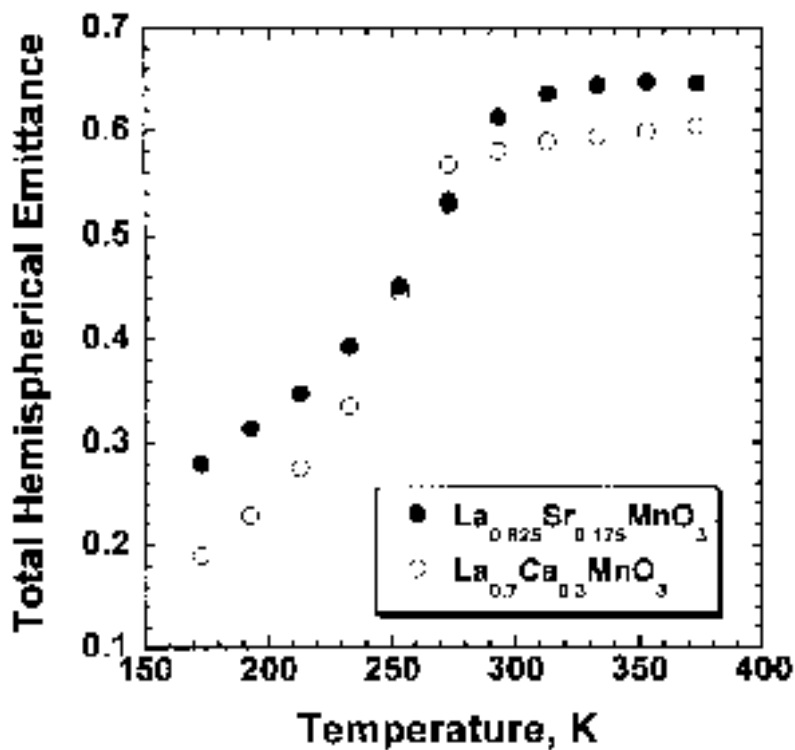


Experimento no satélite tecnológico ST5 a ser lançado em 2004.



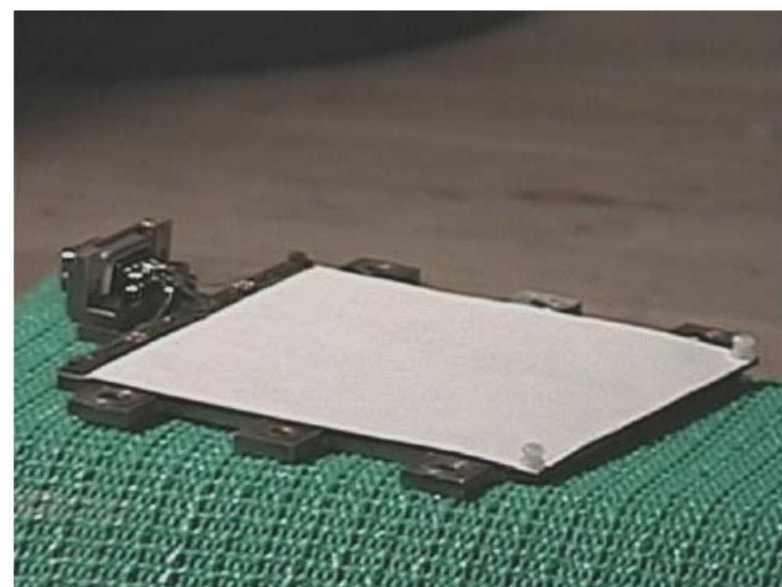
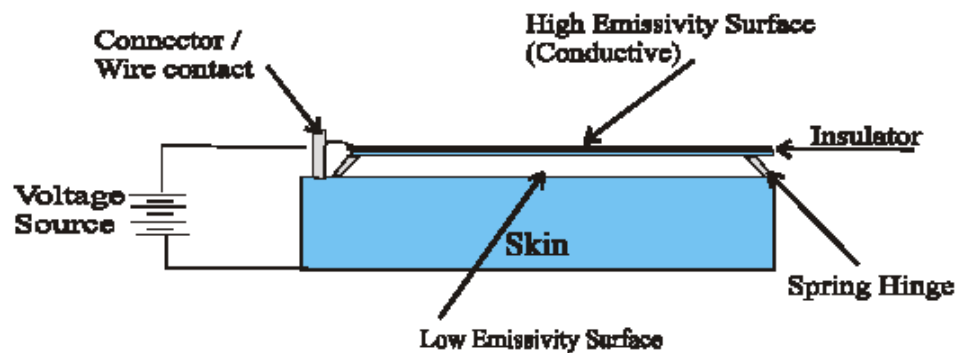
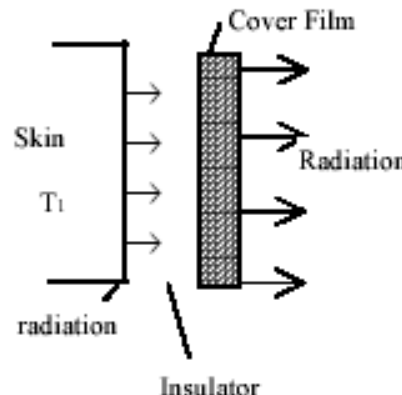
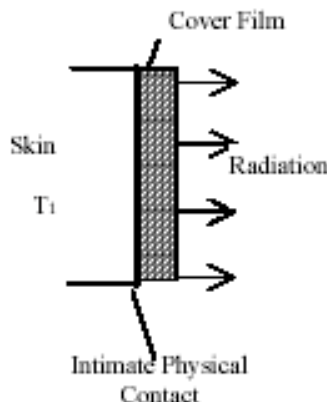
- Thermochromics

- Determinados materiais sofrem uma mudança na propriedade termo-ótica com a temperatura.
- Radiador seria construído fixando diversas pastilhas deste material sobre sua superfície.
- Não há degradação das PTO devido à irradiação UV, por prótons ou elétrons.
- Problema: alto valor de α (0.84-0.9).



Smart Radiation Device

Radiador “eletrostático”: 200 - 500 V



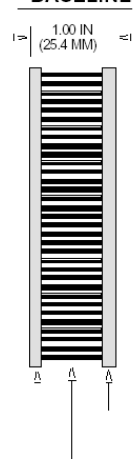
Experimento no satélite
tecnológico ST5 a ser
lançado em 2004.

→ Radiadores Carbono-Carbono

- Materiais C-C (fibra e matriz em Carbono) oferecem maior eficiência térmica, razão rigidez/massa, “tailorability” e estabilidade dimensional que o alumínio.



BASELINE



0.020" 6061-T6 Al

5056 ALUMINUM HONEYCOMB
2.1 lb / cu.ft.

0.020" 6061-T6 Al

SWALES
AEROSPACE

C-C RADIATOR

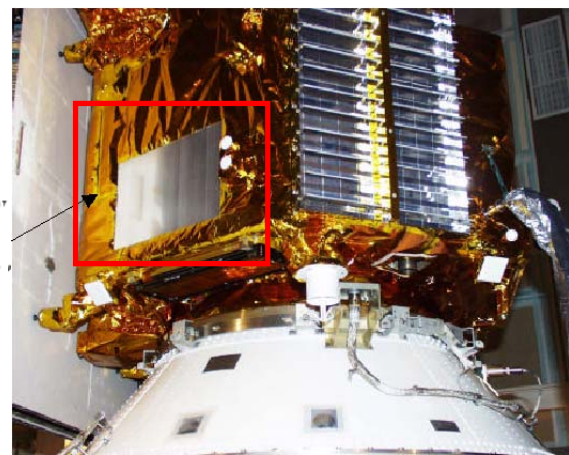
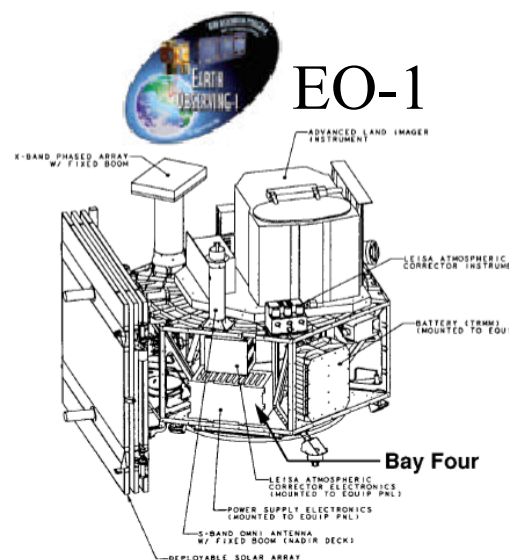
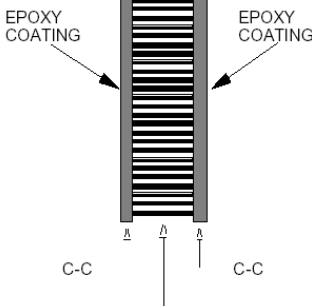
1.00 IN
(25.4 MM)

Figure 1.1
Carbon-Carbon Panel Internal Surface

Figure 1.2
Carbon-Carbon Panel External Surface

	Pre-Flight / Experimental	Flight Analysis
K (horizontal)	230 W/m-K	295 W/m-K
K (vertical)	230 W/m-K	208 W/m-K
K (z direction)	30 W/m-K	30 W/m-K

LESSONS LEARNED

- C-C Radiator was a success and proved that the technology can work to reduce Spacecraft weight
- C-C has a niche, especially for high temperatures
- C-C still needs further development (my opinion)
 - Reduction in fabrication time and cost - high conductivity “traditional” composites are more competitive
 - CTE Interface issues with heat pipes
- Redundancy a good idea - we flew the spare panel

- Radiador com face-sheets e Honeycomb de C-C.



	Ultracor C-C H/C Panel	P-120 Facesheets Al. H/C	Aluminum Facesheets Al. H/C	Aluminum Plate
Thermal Conductivity (in plane) (W/mK)	350	275	180	180
Density (g/cc)	0.27	0.2	0.3	2.7
Specific Thermal Conductivity (W-cm ³ /mK-g)	1296	1375	600	66
Thermal Conductivity in Z-direction (W/mK)	65	20	10	180
Specific Thermal Conductivity (W-cm ³ /mK-g) In Z	241	100	33	66

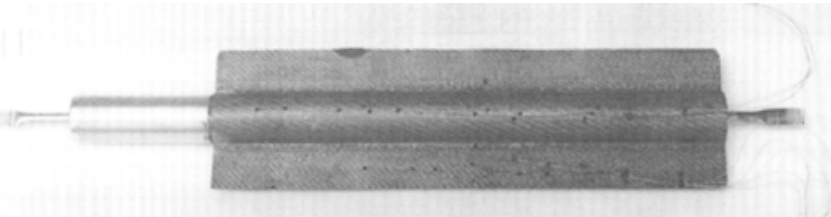
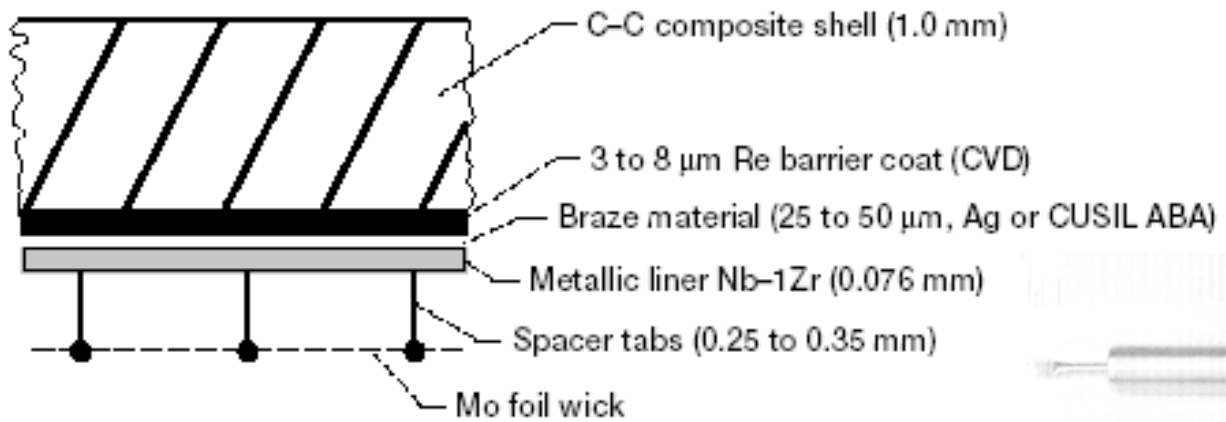
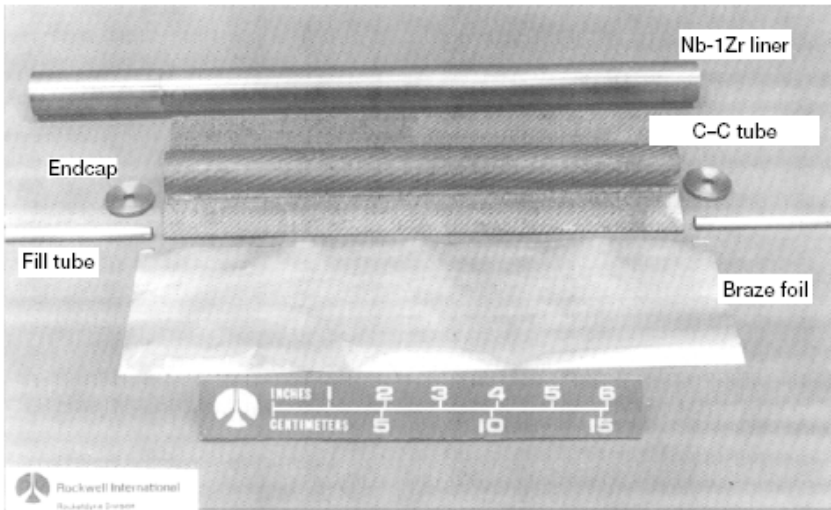
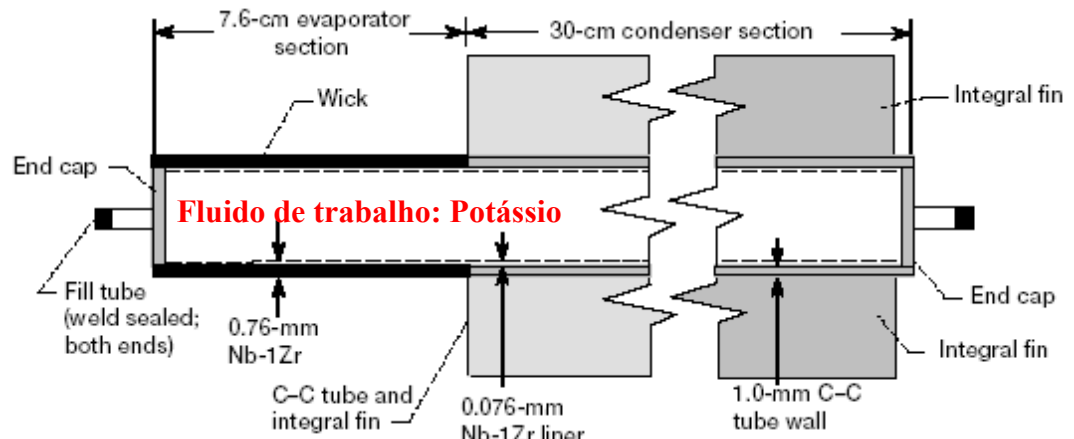
Dados do EO-1
facesheets CC -
HC Al

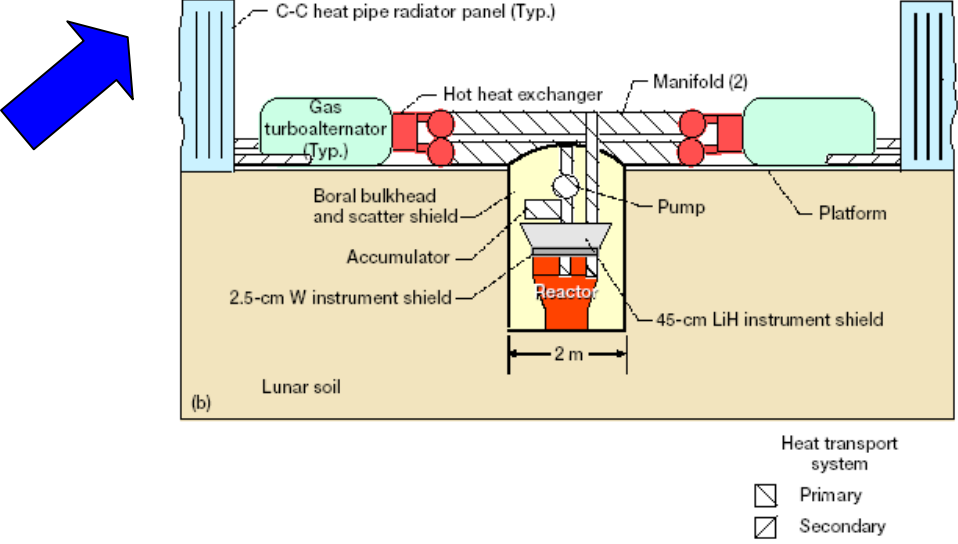
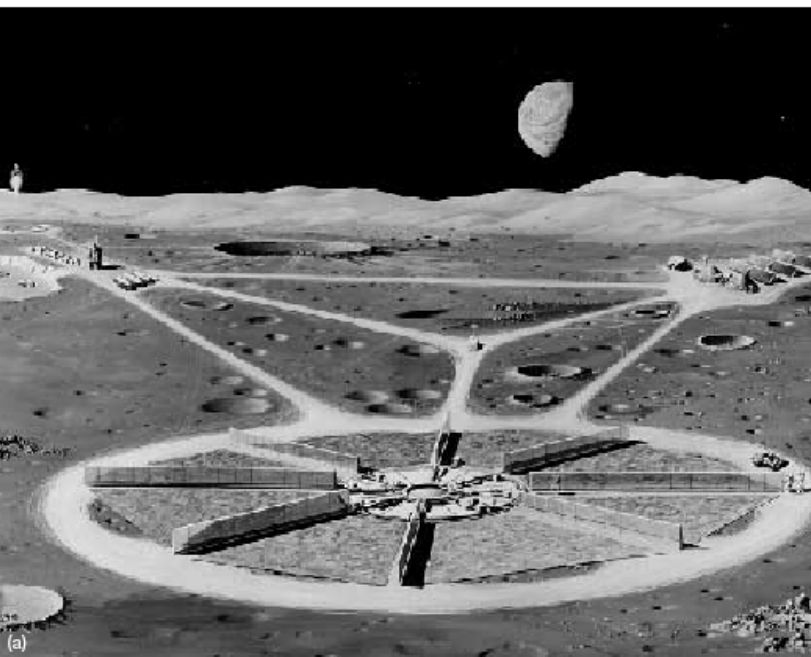
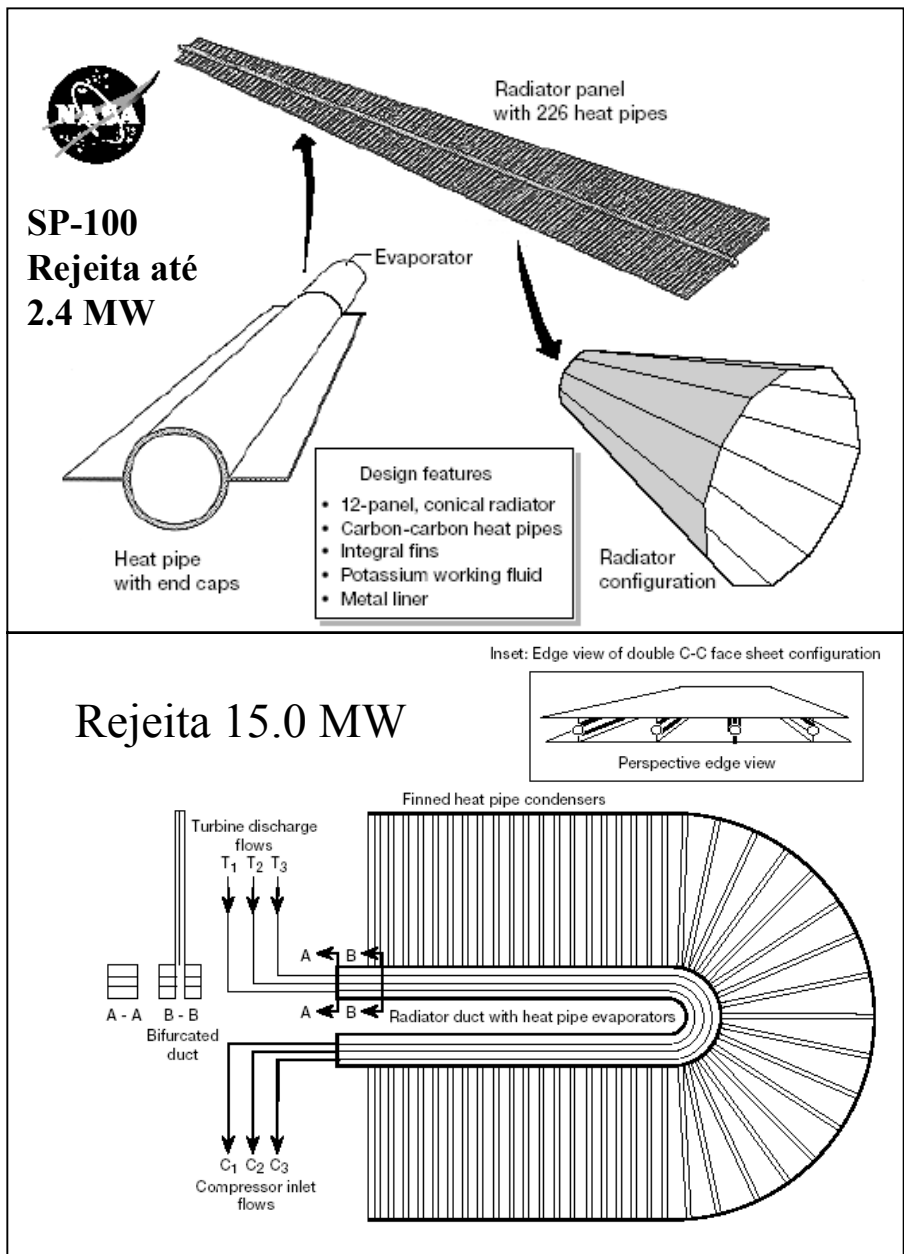
	Pre-Flight / Experimental	Flight Analysis
K (horizontal)	230 W/m-K	295 W/m-K
K (vertical)	230 W/m-K	208 W/m-K
K (z direction)	30 W/m-K	30 W/m-K

- Radiador C-C com HPs (C-C) para sistemas com alta dissipação de potência.

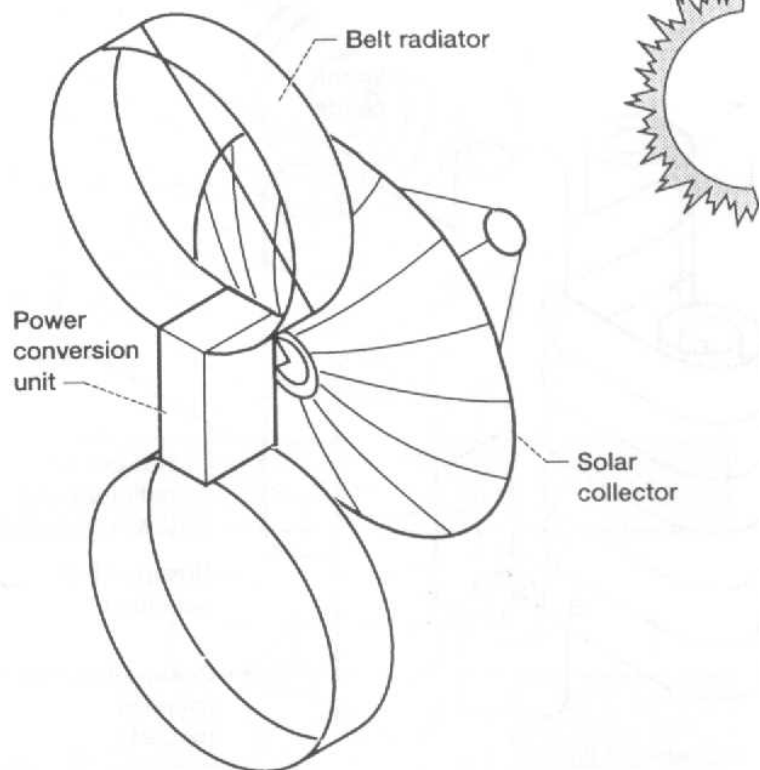


Glenn Research Center

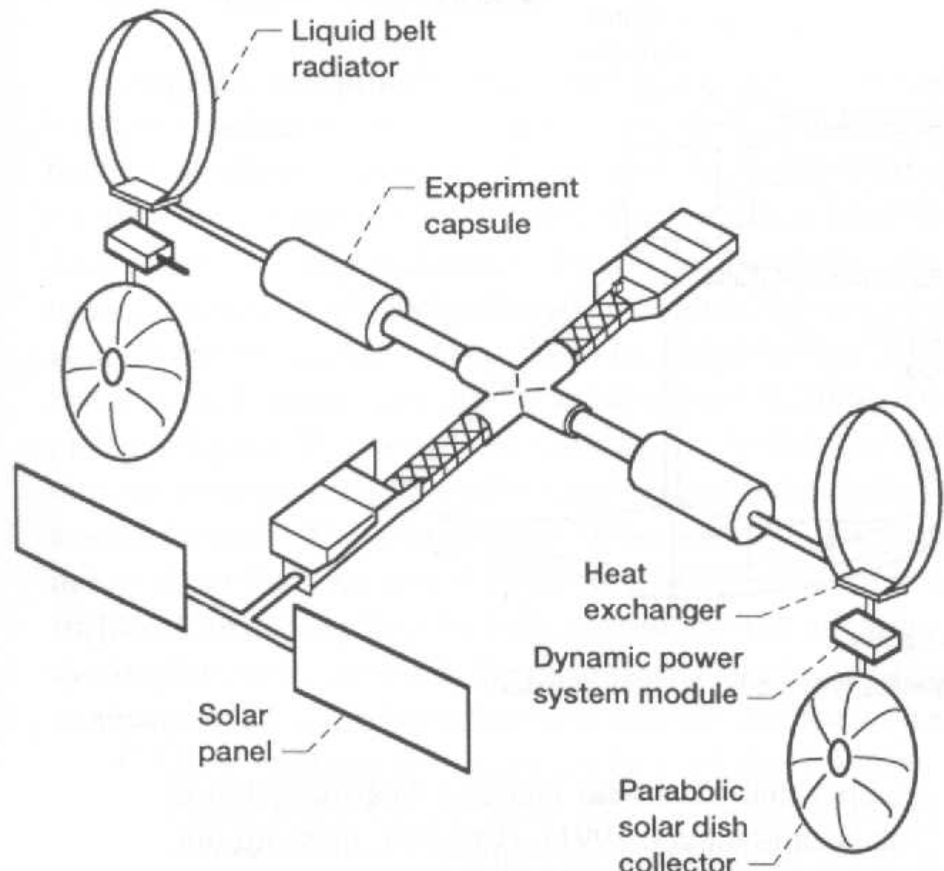




→ Outras Concepções Avançadas Para Sistemas de Alta Dissipação

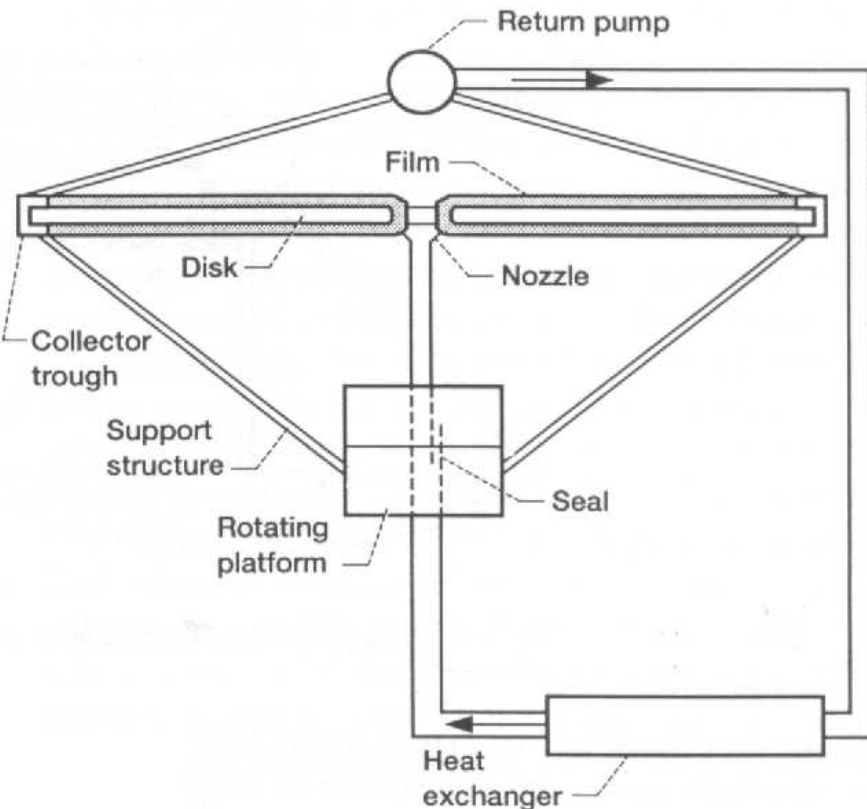


Moving-belt radiator

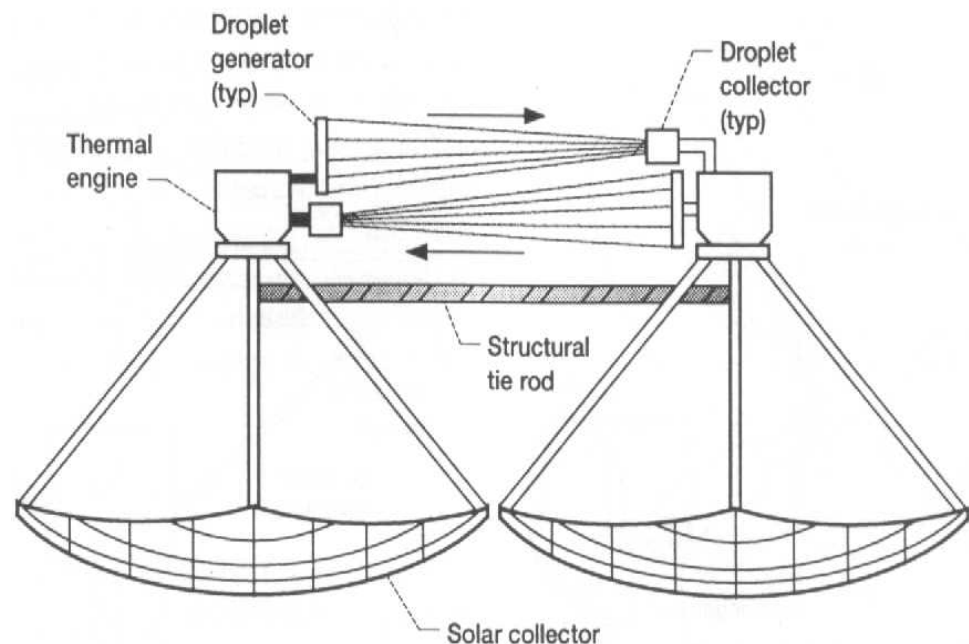


Liquid-belt radiator

Outras concepções vançadas para sistemas de alta dissipação (Cont.)



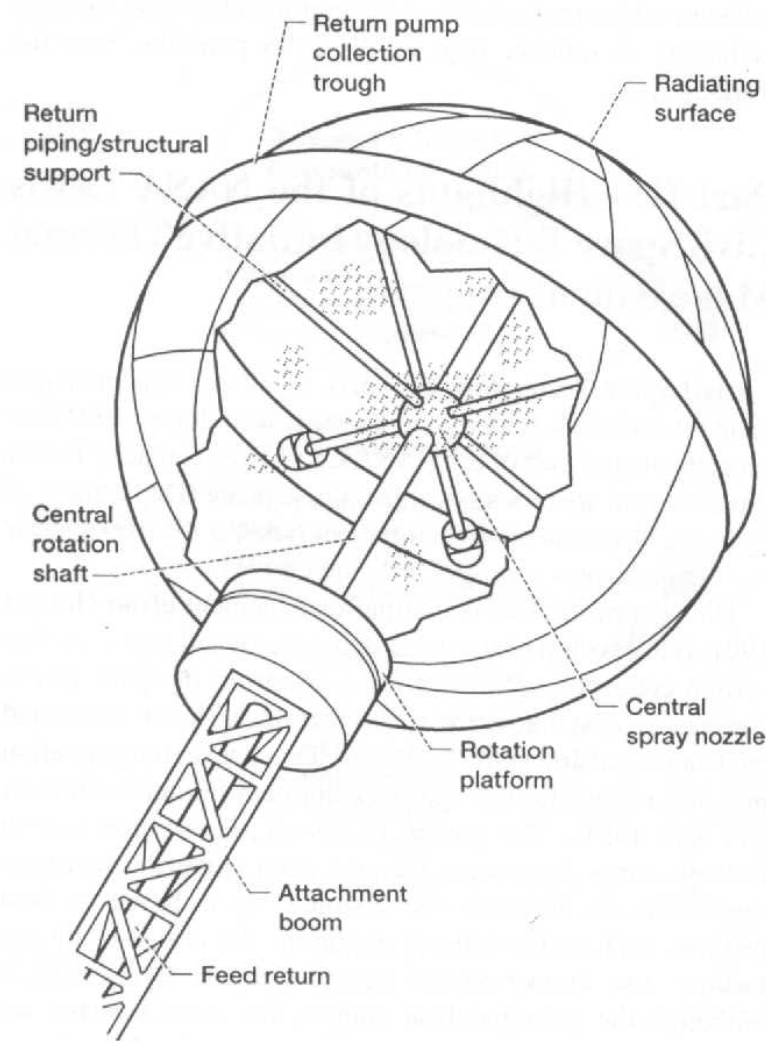
Rotating film radiator



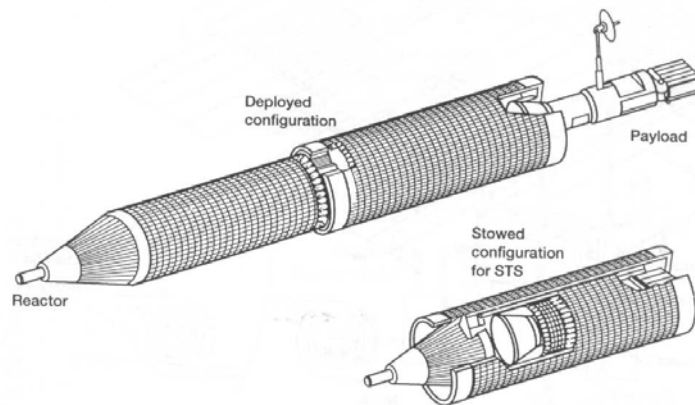
Liquid droplet radiator

Conceito similar, mas com partículas sólidas: Curie Point Radiator.

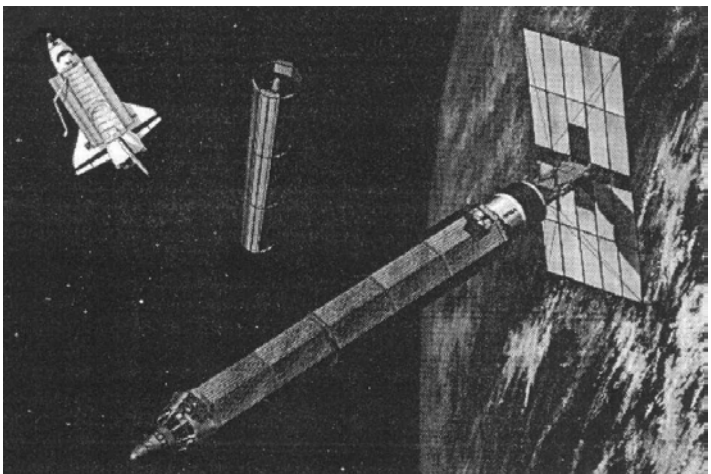
Outras concepções vançadas para sistemas de alta dissipação (Cont.)



Rotating bubble-membrane radiator



Telescoping radiator (K HPs)



Folding panel radiator (Li/NaK loops)

REFERÊNCIAS

- [1] Bitter, W., Oh, S. e Hess, S. Electrostatic Switched Radiator for Space Based Thermal Control.
- [2] Chittenden, D., Grossman, G., Rossel, E., Van Etten, P., e Willians, G. High Power Inflatable Radiator for Thermal Rejection From Space Power Systems. Proceedings of the 21st Intersociety Energy Conversion Engineering Conference: IECEC'86, ACS, Washington, D.C., Vol. 3, pp. 1875-1880, 1986.
- [3] Gilmore, D.G. (Ed.). Satellite Thermal Control Handbook. The Aerospace Corporation Press, 1994.
- [4] Goncharov, K., Orlov, A., Tarabrin, A., Gottero, M., Perotto, V. Tavera, S e Zoppo, G.P. 1500 W Deployable Radiator With Loop Heat Pipe. ICES 2001.
- [5] Henderson, H. Thermal Control of Spacecraft. In Spacecraft Systems Engineering, (Ed. Fortescue, P.W. e Stark, J.P.W.), Chapter 12, John Wiley and Sons, N.Y., 1994.
- [6] Ishikawa, H., Yao, A., Ogushi, T., Haga, S., Miyasaka, A. e Noda, H. Development of Loop Heat Pipe Deployable Radiator for Use on Engineering Test Satellite VIII (ETS-VIII). ICES 2001.
- [7] Juhasz, A.J. Design Considerations for Lightweight Space Radiators Based on Fabrication and Test Experience With a Carbon-Carbon Composite Prototype Heat Pipe. NASA/TP-1998-207427/REV1, September, 2002.
- [8] Juhasz, A. e Peterson, G.P. Review of Advanced Radiator Technologies for Spacecraft Power Systems and Space Thermal Control. NASA TM-4555, 1994.

- [9] Muraoka, I.; Sousa, F.L.; Parisoto, W.; Ramos, F.M. Numerical and Experimental Investigation of Thermal Louvers for Space Applications, J. of the Braz. Soc. Mechanical Sciences, Vol. XXIII, No. 2, pp. 147-153, 2001.
- [10] Osiander, R., Champion, J., Farrar, D., Schneider, W. e Darrin, A. ST5 Variable Emittance MEMS Radiator Update. Spacecraft Thermal Control Workshop, March 11-13, El Segundo, CA, 2003.
- [11] Tachikawa, S. et al. Smart Radiation Device: Design of an Intelligent Material With Variable Emittance, ICES 2001.
- [12] Tachikawa, S. et al. Development of a Variable Emittance Radiator Based on a Perovskite Manganese Oxide. Journal of Thermophysics and Heat Transfer, Vol. 17, No. 2, April-June, 2003.
- [13] Tjiptahardja, T., Amidieu, M. Oost, S. Mulledender, B. Bekaert, G. Mauduyt, J. Supper, W. Development of Deployable Radiators at Alcatel Space. ICES 2000.